UNIVERSIDADE ESTADUAL DE CAMPINAS

INSTITUTO DE QUÍMICA

DESENVOLVIMENTO DE UM EBULIOSCÓPICO DE CIRCULAÇÃO PARA DETERMINAÇÃO DE EQUIL $\underline{\hat{\mathbf{I}}}$ BRIO LÍQUIDO-VAPOR

Adauto Fernandes Marconsin

Orientador: Prof. Dr. Walace Alves de Oliveira

Tese de Mestrado 1980

M333d

BIBLIOTECA CENTRAL

AGRADECIMENTOS

- Ao Prof. Dr. Walace Alves de Oliveira, pela amizade e compreensão na tarefa de orientação desta Tese.
- À todos os amigos e colegas do Instituto de Química da UNICAMP, em especial aos do Grupo de Analítica, pelo excelente ambiente de trabalho.
- Ao Marcos e Neusa, pela grande ajuda no laboratório.
- À Lena e Dirce, pela paciência e dedicação nos trabalhos datilográficos.
- Ao José Luis e Laurindo, pelo grande auxílio no xerox e en cadernação.
- À Direção do Instituto de Química da UNICAMP, pelas facili dades que me foram concedidas.
- Ao CNPq pelo auxílio financeiro durante o desenvolvimento dos trabalhos.
- À OXITENO S/A pelo interesse e auxílio prestados no decorrer do projeto.

SUMÁRIO

Lista das riguras	vi
Lista das Tabelas	viii
Lista dos Apendices	ix
Resumo	х
Abstract	хi
Capitulo T Objetivos	1
Capitulo II Introdução ao Equilibrio Liquido-Vapor	2
2.1. Conceitos Gerais	3
2.1.1. Fugacidade	4
2.2. Soluções Ideais	7
2.2.1. Lei de Raoult	8
2.2.2. Sistema Binário a Temperatura Cons	
tante	8
2.2.3. Sistema Binário à Pressão Constan-	
te	13
2.3. Equilibrio Liquido-Vapor em misturas Re -	
ais	15
2.3.1. Convenção Simétrica e Assimétrica pa	
ra a Normalização do Coeficiente	
de Atividade	18
2.4. A Fase de Vapor	20
2.5. Coeficiente de Fugacidade da Fase de Va -	
por	24
2.5.1. Determinação do Coeficiente de Fu-	
gacidade em misturas Gasosas	25
2.6. Correlações para o Segundo Coeficiente Vi	
rial	27

2.7. A Fase Liquida	28
2.7.1. A Fugacidade da Fase Liquida	28
2.7.2. A Equação do Coeficiente de Ativi-	
dade para um Sistema Binário	30
2.8. As Propriedades de Excesso das Soluções	32
2.9. Propriedades das Soluções Envolvendo Sis-	
temas Multicomponentes	33
2.9.1. As Equações de Wohl, Margules, Van	
Laar e Scatchard-Hamer	34
2.9.2. Comparação entre os Equações de	
Wohl, Margules, Van Laar e	
Scatchard- Harner	37
2.9.3. A Equação de Wilson	38
2.9.3.1. Vantagens da Equação de	
Wilson	42
2.9.3.2. Significação dos Parâme -	
tros da Equação de Wilson	44
2.10. Programas de Calculos	44
2.11. Determinação Experimental de Equilibrio	
Līquido- Vapor	45
2.11.1. Método de Destilação	46
2.11.2. Método de Circulação	47
2.11.2.1. Aparelhos com Circula-	
ção da Fase de Vapor	47
2.11.2.2. Aparelhos com Circula-	
ção das Fases Liquida-	
Vapor	48
2.11.3. Método Estático	48
2.11.4. Método do Fluxo Continuo	49

Capitulo :	III	Instrumentação 51
		3.1. Descrição da Instrumentação Usada 51
		3.2. Desenvolvimento do Ebuliômetro57
		3.3. Descrição e Funcionamento do Ebuliômetro
		Desenvolvido 58
		3.4. Medidas da Temperatura de Ebulição 60
		3.5. Medidas da Pressão do Sistema 63
Capitulo 1	IV	O Equilibrio Liquido-Vapor do Ciclo Hexano -
		Tolueno
		4.1. Parte Experimental 64
		4.2. Resultados e Discussão 65
Capitulo V	7	Estudo de Sistemas Envolvendo Etanolaminas e
		Ägua 82
		5.1. Parte Experimental 82
		5.2. Resultados e Discussão 83
Referência	as B	sibliográficas89
Apêndices.		

LISTAS DAS FIGURAS

Figura	1 -	Fração Molar da Fase Líquida (x1) em Função da
		Fugacidade de um Componente Puro (f1)para um So-
		lução Ideal. Lei de Henry e Regra de Lewis -
		Raĥdallll
Figura	2 -	Isoterma da Fração Molar de um Componente Puro na
		Fase Liquida (x1) em Função da Pressão Total da mis
tura		tura (P) e das Pressões Parciais dos Componentes Pu
		ros (Pl e P2) em um Sistema Ideal
Figura	3 -	Isoterma das Fração Molares da Fase Líquida (x) -
		e da Fase de Vapor Condensada (Y) em Função da Pres
,		são Total (P) em um Sistema Ideal14
Figura	4 -	Função Molar da Fase Liquida (x) e fase de Vapor
		Condensada (j) em Função da Temperatura (T) em um
		Sistema Ideal16
Figura	5	Diagrama de Bloco da Instrumentação Usada nos Siste
		mas Estudados52
Figura	6 -	Sistema de Aquecimento Reentrante54
Figura	7 –	Linha de Vácuo55
Figura	8 -	Manômetro
Figura	9 -	O Ebuliômetro de Circulação61
Figura	10-	Curva Padrão do Indice de Refração (μ^{20}° C) em Função
		do Volume (ml) de Cîclohexano (1)
Figura	11-	Curva de Equilibrio Liquido-Vapor Isobarica do Siste-
		ma Ciclo hexano (1) - Tolueno (2)
Figura	12-	Consistência Termodinâmica dos Dados Experimentais. 72.
Figura	13-	Coeficientes de Atividade(γ i) do Ciclohexano (Δ) e
		e do Tolueno (0) como Função da Fração Molar do Ciclo

			hexano na Fase Líquida (xl). As linhas Seccio-
			nadas Representam Valores da Literatura 77
Figura	14	EAS	Vizualização Gráfica dos Dados Referentes à Ta-
			bela 7. Energia Livre Molar de Excesso de Gibbs
			(G ^E) em Função da Fração Molar do Ciclohexano
			na Fase Liquida (1)
Figura	15	***	Energia Livre Molar de Excesso de Gibbs (G $^{ m E}$) p <u>a</u>
			ra Sistemas: Água - Monoetanolamina (0), Água-
			Dietanolamina (\bigcirc) e Água- Trietanolamina (\bigcirc) 84
Figura	16	_	Energia Livre Molar de Excesso de Gibbs para Sis
			temas: Monoetanolamina -Dietanolamina (0), Mo-
			noetanolamina-Trietanolamina (\triangle) e Dietanolam \underline{i}
			na- Trietanolamina ()85
Figura	17	_	Magnetudes Relativas das Energias de Interação
			entre os Vários Pares de Moléculas

LISTA DAS TABELAS

Tabela 1	- Correçoes para a Pressao nos Sistemas Estudados
	Devido à Altitude, Latitude e Temperatura nas
	Condições Locais 63
Tabela 2	Temperaturas (T), Indices de Refração (μ), Vol \underline{u}
	me (V) e Frações Molares da Fase Liquida (xi)
	do Ciclohexano (1)
Tabela 3-	Temperaturas (T), Índices de Refração (µ) Volu-
	mes (V) e Frações Molares da Fase Vapor Conden-
	sada (Ni) do Ciclohexano (1)
Tabela 4	· Temperaturas (T), Densidades (D), Pressões de V <u>a</u>
	por (p^{O}) do Ciclohexano (1) e Tolueno (2) 73
Tabela 5	Frações Molares (xi) do Ciclohexano (l), Coefi -
	cientes de Atividade (yi) do Ciclohexano (1) e
	do Tolueno (2)
Tabela 6-	Frações Molares (xi) do Ciclohexano (1) e loga-
	ritimo da Razão entre os Coeficientes de Atividade
	(γi) do Ciclohexano (1) e Tolueno (2)75
Tabela 7-	Frações Molares (xi) do Ciclohexano (l) e Energia
	Livre Molar de Excesso de Gibbs (G ^E)78
Tabela 8-	Coeficientes de Atividade (¥i) do Ciclohexano(1)
	e do Tolueno (2), Experimentais e Calculados.Di -
	ferença entre os Coeficientes de Atividade (γi)
	Experimentais e Calculados80
Tabela 9-	Desvio Percentual dos Coeficientes de Atividade -
	(γi) do Ciclohexano (l) e do Tolueno (2).Desvio
	Percentual médio entre o Coeficiente de Atividade
	do Ciclohexano (γ 1) e do Tolueno (γ 2)81

LISTA DOS APÊNDICES

Apêndice l - L	istagem do Programa ACTCOE Usado para o Cál-
С	ulo dos Coeficientes de Atividade (γi)96
Apêndice 2 - C	álculo Típico Usando o Programa ACTCOE98
Apêndice 3 L	istagem do Programa FRIA Usado para a obtenção
đ	os Parâmetros de Wilson (Al2 e A21)99
Apêndice 4 - C	alculo Típico Usando o Programa FRIA Para
0	s Parâmetros de Wilson Calculados a partir dos
С	Coeficientes de Atividade (γi) do Ciclo Hexano
(1)
Apêndice 5 - C	alculo Tipico Usando-se o Programa FRIA para
0	s Parâmetros de Wilson Calculados a Partir dos
C	Coeficientes de Atividade (γi do Tolueno (2)104
Apêndice 6 - L	istagem Programa COECAL Usado para o Cálculo
đ	los Coeficientes de Atividade (γi) a Partir da
M	Média Aritimética dos Valores dos Parâmetros de
W	Vilson (Al2 e A21)105
Apêndice 7 - C	Cálculo Típico Usando o Programa COECAL106

RESUMO

Este trabalho apresenta o desenvolvimento de um <u>e</u>bu bulioscópio de circulação para o estudo de sistemas envolvendo equilíbrios líquido-vapor. O aparelho permite a circulação e amostragem das fases líquidas e vapor, usando para este fim um sistema Cottrell. O desenho do instrumento é simples e possibilita estudos de sistemas com variações de pressão entre normal e 10mm Hg obtendo-se medidas com boa precisão.

Para testar o desempenho do aparelho, o equilibrio liquido-vapor do sistema ciclohexano-tolueno foi determinado à pressão de 713 mmHg. Calculamos os coeficientes de atividade e comparamos com os valores da literatura, havendo boa concordância entre os dados. Calculamos ainda a energia livre molar de excesso de Gibbs e observamos que este sistema apresentou um des vio positivo em relação à lei de Raoult.

A aplicação da instrumentação foi feita na determinação de equilíbrio líquido-vapor de sistemas binários envolven do seis pares formados por água, monoetanolamina, dietanolamina e trietanolamina sendo derivadas as energias livres molares de excesso de Gibbs. Os dados experimentais foram ajustados à equação de Wilson sendo obtidos os parâmetros de Wilson e determina das as energias de interação entre os pares dos sistemas estuda dos. A ordem de grandeza encontrada para as energias de interação entre os pares dos fatores de interação entre os pares parece ser razoável, pois fatores de interação inter e intra moleculares indicam a mesma tendência.

ABSTRACT

The design and construction of a circulating ebulliometer for the study of vapor-liquid equilibria is described. The apparatus enables the circulation and sampling of both liquid and vapour phases, and works with the help of a Cottrell pump. The design is simple and permits measurements with good precision in the range of pressure from normal to 10mmHq.

In order to test the performance of the apparatus, the vapour-liquid equilibrium of the system cyclohexane-toluene was determined at the pressure of 713mmHg. Activity coefficients were obtained and showed good agreement with literature data. Molar excess Gibbs free energies were calculated and indicated positive deviations with respect to Raoult's law.

The apparatus was used for the determination of the vapour-liquid equilibria of the six pairs formed by water, monoethanolamine, diethanolamine and triethanolamine. Molar excess Gibbs free energies were calculated and the data were fitted to the Wilson equation, giving the values of the parameters of this equation, and the interation energies of the molecules in the systems. The magnitudes of the interaction energies appear to be reasonable in view of other factors which indicate the same tendency.

CAPÍTULO I

OBJETIVOS

O propósito principal do presente trabalho consistiu em desenvolver um ebulioscópio de circulação para a determinação de equilíbiro líquido-vapor de sistemas formados por líquidos voláteis e com pontos de ebulição bem diferentes. O aparelho que se pretendia desenvolver deveria ser de construção simples, ser de fácil manutenção e possibilitar medidas em nível de precisão suficiente.

uma vez desenvolvido o aparelho, este deveria ser testado com compostos para os quais há dados na literatura. As funções termodinâmicas de interesse, mormente os coeficientes de atividade e as energias livres de excesso deveriam ser determinadas para se avaliar a confiabilidade do aparelho.

Em seguida pretendia-se usar este equipamento na determinação do equilibrio líquido-vapor de misturas for madas por etanolaminas e água, sistemas que apresentam interesse para a indústria petroquímica. Os trabalhos relacionados com esta aplicação prática do aparelho foram desenvolvidos dentro de um projeto especial - Projeto UNICAMP-CODETEC no TA 011/72.

CAPÍTULO II

INTRODUÇÃO AO EQUILÍBRIO LÍQUIDO-VAPOR

As informações obtidas do equilibrio líquidovapor, convenientemente trabalhadas, apresentam grande uti
lidade especialmente sob dois aspectos: determinação de
grandezas termodinâmicas dos constituintes do sistema e aplicação em processos industriais de separação de misturas.

Estudos de equilibrio líquido-vapor dependem da natureza dos componentes presentes, das suas concetrações em ambas as fases, da temperatura e da pressão do sistema. Estes estudos podem envolver tanto experiências isobáricas como isotérmicas.

As grandezas termodinâmicas fundamentais são o coeficiente de atividade da fase líquida e a energia livre de excesso molar de Gibbs. Gráficos de coeficiente de atividade, de energia livre de excesso molar de Gibbs, ou da temperatura em função da fração molar da fase líquida são importantes para caracterizar o sistema. É preciso determinar, também, a consistência termodinâmica dos dados.

Estas grandezas termodinâmicas citadas, principalmente o coeficiente de atividade, tem muito significado na resolução de problemas referentes à separação de misturas em processos industriais.

Existem vários modelos propostos para representar o coeficiente de atividade de cada componente em uma mistura formada por vários compostos. O objetivo destes modelos é possibilitar a previsão do comportamento do sistema.

a partir de um mínimo de dados experimentais.

Discute-se a seguir os aspectos termodinâmicos fundamentais para o estudo do equilibrio líquido-vapor. A ênfase e a extensão da abordagem visam também propiciar um material de referência para consultas ulteriores.

2.1. Conceitos Gerais

O tratamento termodinâmico de equilibrio líquido vapor considera várias funções, cuja concentração é útil destacar. Assim, o fator de compressibilidade, Z, é definido, por mol, pela equação:

$$Z = \frac{PV}{RT} = \frac{V}{RT/P} = \frac{V}{V}$$
 (1)

onde V' é o volume molar dado pela lei do gás ideal (PV' = RT), V é o volume molar real, P é a pressão, T é a temperatura absoluta e R é a constante de gases. Diversas quantida des são usadas para representar a diferença entre a propriedade que poderia ser obtida se a equação do gás ideal fosse válida e a propriedade verdadeira. Estas funções são chamadas residuais. Então, temos

Volume Residual :
$$\Delta V = V' - V$$
 (2)

Entalpia Residual:
$$\Delta H = H' - H$$
 (3)

Entropia Residual:
$$\Delta S' = S' - S$$
 (4)

Função de Gibbs Residual:
$$\Delta G' = G' - G$$
 (5)

onde H', S', G', são a entalpia, entropia e a energia li vre de Gibbs, respectivamente, para sistemas ideais. Estas
funções residuais dependem da interação entre as moléculas
e não das características das moléculas individuais. Desde
que o gás ideal presume a ausência de interações moleculares, desvios da idealidade são medidos pela funções resi duais.

2.1.1. Fugacidade

Hā três fugacidades: para um componente puro , fi, para uma mistura ou solução f, e aquela para um componente na solução fi. As relações entre a função de Gibbs e estas fugacidades são:

Para a fugacidade do puro i

$$d Gi = RTln fi (Tcte.)$$
 (6)

$$\lim_{P \to 0} \frac{fi}{P} = 1 \tag{7}$$

Para a fugacidade da mistura

$$dG = RT \ln f (T cte)$$
 (8)

$$\lim_{P \to 0} \frac{f}{P} = 1 \tag{9}$$

Para a fugacidade de i na solução

$$d \overline{G}i = RTln \hat{f}i \quad (Tcte.)$$
 (10)

$$\lim_{P \to 0} \frac{\hat{f}i}{xiP} = 1 \tag{11}$$

Em condições nas quais a lei do gás ideal é uma equação de estado apropriada, as fugacidades tornam-se iguais as pressões, a saber,

f torna-se igual à pressão da mistura .

fi torna-se igual à P, pressão do componente puro i.

fi torna-se igual a xiP, a pressão parcial do componente puro i na mistura gasosa de fração molar xi em i.

A integração da equação (8) de um estado de gás ideal hipotético a um estado real à T,P e x constante, seguida da sua diferenciação com respeito a T, mantendo P e x constantes, onde x indica todas as frações molares, fornece

$$\left(\frac{\partial \ln f}{\partial T}\right) = \left[\frac{\partial (G/RT)}{\partial T}\right] - \left[\frac{\partial (G'/RT)}{\partial T}\right] P_{,x}$$
(12)

A comparação da equação (12) com a equação de Gibbs Helmotz permite obtermos a derivada parcial da fugacidade em relação à temperatura:

$$\left(\frac{\partial \ln f}{\partial T}\right)_{P,X} = -\frac{H}{RT^2} + \frac{H'}{RT^2} = \frac{\Delta H'}{RT^2} .$$
(13)

A integração da equação (8) como acima, a sua diferenciação com respeito a P, mantendo T e x constantes e comparando com a relação termodinâmica a T e x constantes

$$dG = VdP$$

permite escréver:

$$\left(\frac{\partial \ln f}{\partial P}\right)_{T, x} = \frac{V}{RT} \tag{14}$$

sendo que todas as grandezas termodinâmicas escritas nas equações (13) e (14) já foram definidas.

Particularizando a relação geral² para uma grandeza termodinâmica em um sistema homogêneo em estado de equilibrio, podemos escrever, com relação a lnf,

$$d(nlnf) = n \left(\frac{\partial lnf}{\partial T}\right)_{P,X} dT + n \left(\frac{\partial lnf}{\partial P}\right)_{T,X} dP + \Sigma \left(ln\tilde{f}idni\right)_{P,T}.$$

A substituição das derivadas parciais das equações (13) $^{\rm e}$ (14) na equação acima resulta:

$$d(nlnf) = \frac{n\Delta H'}{RT^2} + \frac{n V}{RT} dP + \Sigma \left(\frac{lnfi}{xi} dni \right)$$
 (15)

Esta equação geral para a fugacidade será particularizada no estado de equilíbrio líquido-vapor para ambas

as fases, líquida e vapor. Da forma geral da equação de Gibbs-Duhem², pode-se escrever, baseado na equação (15)

$$\frac{\Delta H'}{RT^{2}} \frac{dT}{dT} + \frac{V}{RT} \frac{dP}{dP} - \left[\sum_{xidln} \frac{fi}{xi} \right] = 0$$
 (16)

Considerando que

$$\Sigma$$
 (xi dlnxi) = 0 ,

a equação (16) pode ser reescrita da seguinte forma

$$\frac{\Delta H'}{RT^2} \frac{dT}{dT} + \frac{V}{RT} dP - \Sigma (xidlnfi) = 0$$
 (17)

que é a equação de Gibbs-Duhem escrita em termos de fugacidade de i na solução.

2.2. Soluções Ideais

Uma solução ideal é, por definição, aquela para a qual a fugacidade de cada componente na solução é dada por

$$fi^{id} = xif^{O}i$$
 (18)

a todas as pressões, temperaturas e composições. A equação (18) mostra que fi para uma solução ideal é diretamente proporcional a xi. A constante de proporcionalidade é f^oi, a fugacidade do estado padrão do puro i à temperatura da solução, a qual depende da escolha do estado padrão. A equação (18) implica em que para um dado estado padrão e para T e P

2.2.1. Lei de Raoult

Particularizando as condições gerais mencionadas acima, isto é, para um sistema ideal constituido de 2 fases líquido-vapor em equilíbrio, podemos escrever de acordo com a equação (18) para um constituinte da fase líquida a equação

$$(\hat{f}i)_1 = xi (f^Oi)_1 \tag{19}$$

onde xi é a fração molar deste constituinte na fase líquida, denotada pela letra 1. Como ambas as fases estão em equilíbrio o potencial químico e consequentemente a fugacidade de um constituinte é a mesma na fase líquida e na do vapor,

$$(\hat{\mathbf{f}}\mathbf{i})\mathbf{1} = (\mathbf{f}\mathbf{i})\mathbf{g} \quad . \tag{20}$$

Substituindo-se a equação (20) na equação (19) e considerando-se, para baixas pressões, $(\hat{f}i)g = Pi$ (pressão parcial do puro i) e $(f^Oi)l = P^Oi$ (pressão de vapor do puro i) obtemos:

$$Pi = xi \cdot P_i^0 . (21)$$

Esta equação foi empiricamente encontrada por Raoult. Com dados de pressão de vapor dos constituintes puros e dados experimentais da fração molar, pode-se calcular as pressões parciais dos componentes no equilíbrio.

2.2.2. Sistema Binário à Temperatura Constante

fixos, fi depende somente de xi.

Para uma solução ideal um gráfico de fi versus xi é uma linha reta, partindo da origem e terminando quando $\hat{f}i = f^{O}i$, isto é, xî = 1. Claramente uma linha reta diferente resulta para cada diferente escolha de $f^{O}i$.

Duas escolhas de estado padrão tem mostrado de utilidade e elas estão baseadas no comportamento de um componente numa solução real a duas concentrações extremas, xi + 1 e xi + 0 , onde a regra de Lewis e Randall³ e a lei de Henry⁴, respectivamente tornam-se válidas. As duas fugacidades do estado padrão, resultantes das considerações feitas acima, são mostradas na Figura 1, representando um sistema binário; é suposto que a fase (líquida ou gasosa) sob consideração é estável na faixa inteira de composição para um dado T e P.

A reta da lei de Henry representa um comportamento ideal somente quando xl \rightarrow 0 e o valor de f $^{\rm O}$ é hipotético e depende da natureza do outro componente.

A outra reta que representa a regra de Lewis e Randall mostra um comportamento ideal diferente do anterior e \acute{e} observado realmente quando x1 \rightarrow 1.

Para este caso f_1^0 é a fugacidade do componente puro 1, comumente representada nos capítulos anteriores por fl e seu valor não depende da natureza do outro componente.

Desde que os estados padrões são relacionados as soluções observadas a T e P fixos, a pressão do estado padrão é, em ambos os casos, a pressão da solução.

Considerando-se um sistema com dois constituintes 1 e 2 e considerando-se que a pressão total, de acordo com a lei de Dalton, é a soma das pressões parciais, podemos reescrever a equação (21) como:

$$P = x_1 (P_1^0 - P_2^0) + P_2^0 . (22)$$

A equação (22) mostra que a pressão total sobre uma solução ideal é, à temperatura constante, uma função linear da composição. Esta relação é mostrada graficamente pela isoterma da figura 2.

A razão entre a equação (21) e a equação que representa a lei de Dalton, para a fase de vapor e para dois constituintes l e 2 resulta em:

$$\frac{y_1}{y_2} / \frac{x_1}{x_2} = \frac{y_1 (1 - x_1)}{x_1 (1 - x_1)} = \frac{p_1^0}{p_2^0} = \alpha , \qquad (23)$$

onde y_1 e y_2 é a fração molar de $\underline{1}$ e $\underline{2}$ para a fase de vapor; α é uma constante, independente da composição, para soluções ideais e é chamada volatilidade relativa.

A equação (23) mostra que a razão das frações molares dos constituintes 1 e 2 na fase de vapor dividida pela correspondente razão na fase líquida é constante. Pode-se en contrar uma relação expressando a dependência da pressão total pela composição da fase de vapor, à temperatura constante, isto é, isotermicamente, como abaixo:

$$P = \frac{P_1^{\circ}}{\alpha - y_1 (\alpha - 1)}$$
 (24)

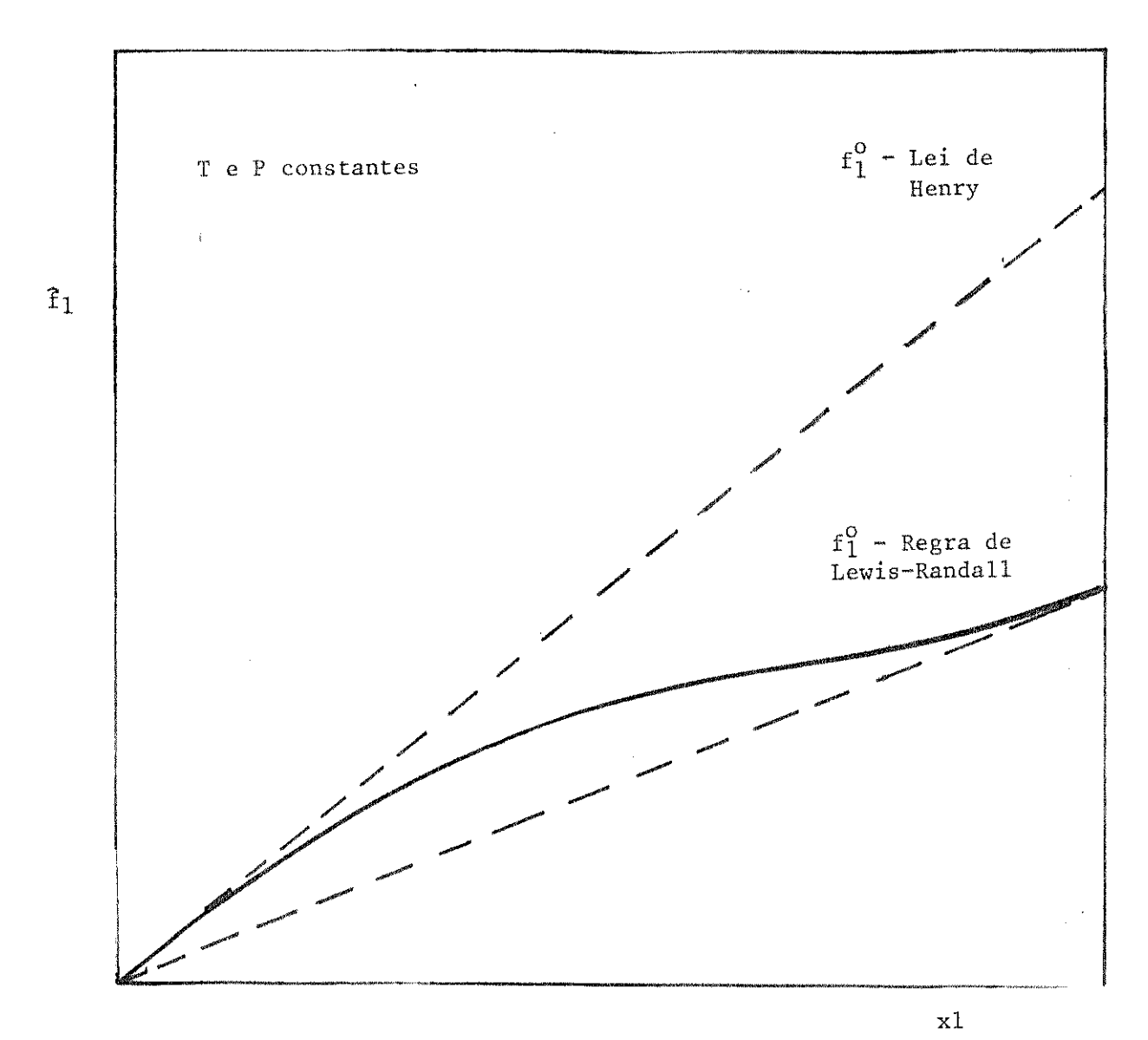


Figura 1 - Fração Molar da Fase Líquida (x1) em Função da Fugacidade de um Componente Puro (Î1) para uma Solução Ideal. Lei de Henry e Regra de Lewis-Randall.

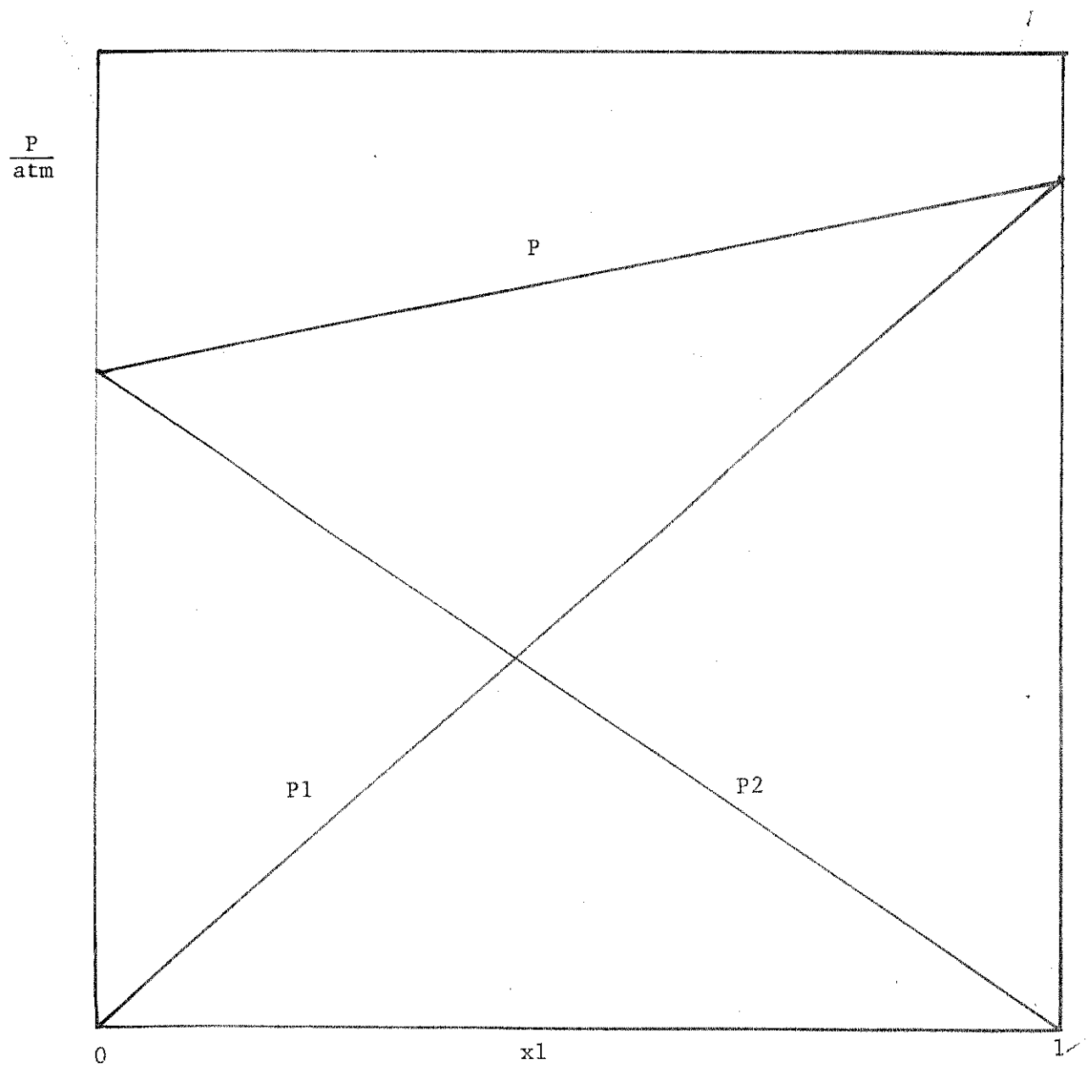


Figura 2 - Isoterma da Fração Molar de um Componente Puro na Fase Líquida (x1) em Função da Pressão Total da mistura (P) e das Pressões Parciais dos Componentes Puros (P1 e P2) em um Sistema Ideal.

Esta dependência é mostrada na Figura 3 que retrata um equilibrio isotérmico entre as fases líquida-vanor de um sistema binário ideal.

2.2.3. Sistema Binário a Pressão Constante

A partir da equação (22) pode-se escrever:

$$P = P_1 + P_2 = x_1 P_1^0 (T) + (1 - x_1) P_2^0 (T),$$
 (25)

mostrando que é necessário conhecer a dependência da pres - são de vapor do constituinte puro i em relação à temperatura. Uma equação que representa esta dependência é a equa - ção de Antoine⁷:

$$\log P_1^0 = A_1 - B_1$$
 $t + C_1$
(26)

$$\log P_2^0 = A_2 - \frac{B_2}{t + C_2}$$
 (27)

onde A, B, C, são constantes empíricas para cada componente puro. Substituindo as equações (26) e (27) na equação (25) resulta:

$$P = x_1 \cdot 10^{A_1} \cdot 10^{\frac{B_1}{t+C_1}} + (1 - x_1) \cdot 10^{A_2} \cdot 10^{\frac{B_2}{t+C_2}} \cdot (28)$$

A eguação (28) mostra a dependência da temperatura de ebulição em relação à composição da fase liquida em uma solução binária ideal.

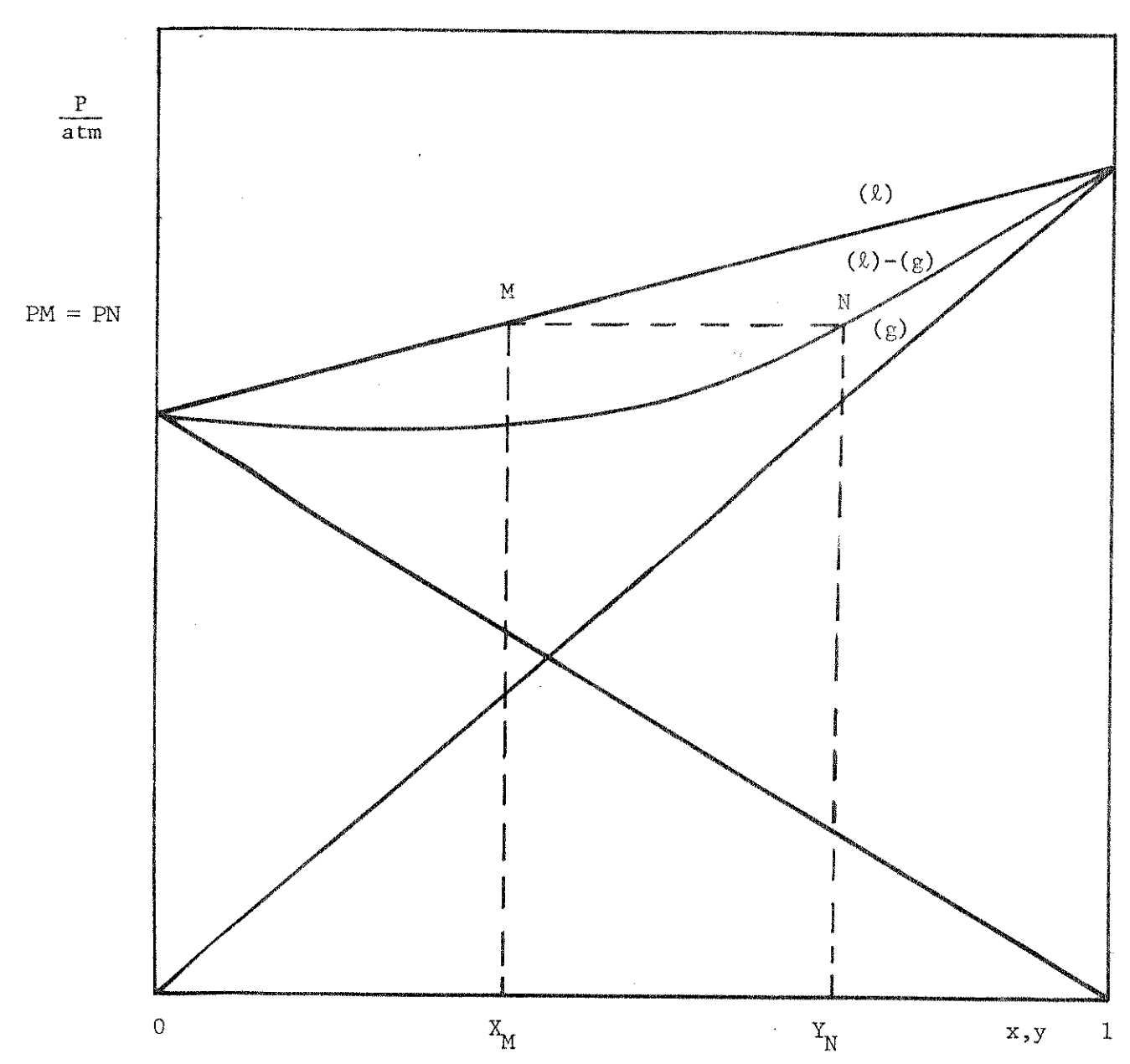


Figura 3 - Isoterma das Frações Mólares da Fase Líquida (x) e da
Fase de Vapor Condensada (y) em Função da Pressão Total (P) em um Sistema Ideal.

A figura 4 mostra um equilibrio isobárico entre as fases líquida e vapor de um sistema binário ideal.

2.3. Equilibrio Liquido-Vapor em Misturas Reais

O tratamento do equilibrio de fases com multicom ponentes, como introduzido por J.W. Gibbs 8, é baseado no conceito de potencial químico. Uma fase líquida e uma fase vapor estão em equilibrio termodinâmico quando a temperatura de cada fase é igual àquela da outra e quando o potencial químico de cada espécie molecular presente é o mesmo em ambas as fases. G.N. Lewis mostrou que uma quantidade física mente mais significativa, equivalente ao potencial químico poderia ser obtida por uma simples transformação; o resulta do desta transformação é uma grandeza, já tratada em seu as pecto geral na seção 2.1.1., chamada fugacidade. Físicamente convem considerar a fugacidade como uma pressão termodia nâmica desde que em uma mistura de gases ideais a fugacidade de cada componente é igual à sua pressão parcial.

Em misturas reais a fugacidade pode ser considerada como uma pressão parcial a qual é corrigida para o comportamento não ideal. Para um sistema contendo duas fases, à mesma temperatura, a condição de equilíbrio para cada componente i, é expressa por

$$\hat{\mathbf{f}}_{i}^{V} = \hat{\mathbf{f}}_{i}^{L} \tag{29}$$

onde \mathbf{f}_{i}^{V} e \mathbf{f}_{i}^{L} representam as fugacidades do componente i nas

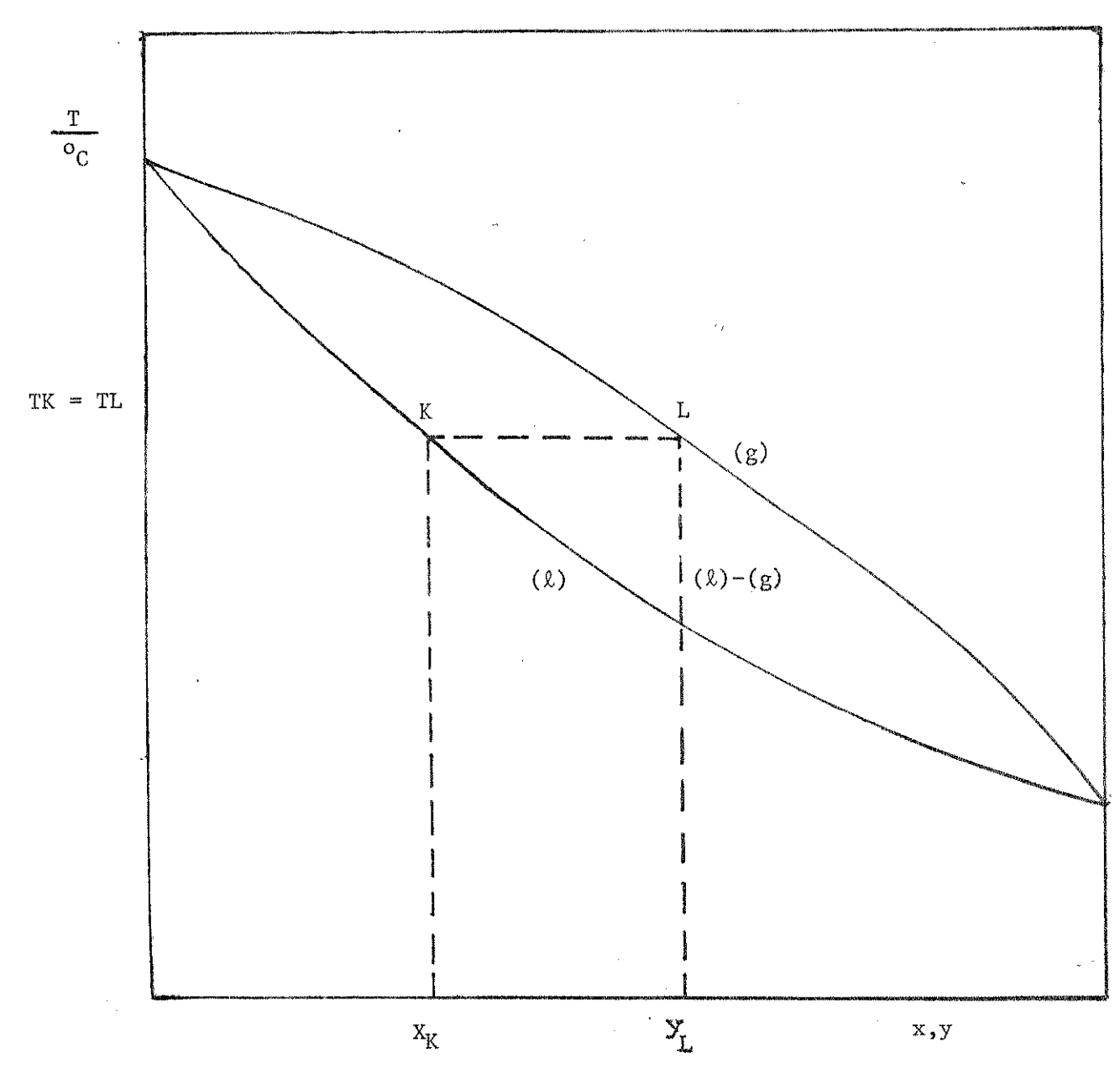


Figura 4 - Fração Molar da Fase Líquida (x) e fase de Vapor Condensada (y) em Função da Temperatura (T) em um Sistema Ideal.

fases gasosa e líquida, respectivamente.

A equação (29) torna-se prática se relacionarmos as fugacidades às quantidades acessíveis experimentalmente como x, y, T e P, onde x é a fração molar da fase líquida , y é a fração molar da fase vapor, T a temperatura absoluta e P a pressão total assumida ser a mesma em ambas as fases.

O relacionamento entre as fugacidades e as quantidades aces síveis experimentalmente é facilitado por duas funções auxiliares. A primeira, o coeficiente de fugacidade $\hat{\rho}$, relaciona a fugacidade da fase vapor, $\hat{\mathbf{f}}_{i}^{V}$ à fração molar, yi, e a pressão total P, ou seja,

$$\hat{p}i = \frac{fi^{V}}{y_{i}^{P}} \qquad (30)$$

A segunda, o coeficiente de atividade γ , relaciona a fugac \underline{i} dade da fase líquida $\hat{f}_{\underline{i}}^L$ à fração molar xi e ao estado padrão de fugacidade $f_{\underline{i}}^{OL}$; ele é definido por

$$\gamma i = \frac{\hat{f}_{i}^{L}}{xif_{i}^{OL}} \qquad (31)$$

Das equações (29), (30) e (31), a equação de equilibrio li - quido-vapor, para qualquer componente i torna-se ll

$$\hat{\rho}$$
i yi $P = \gamma i xi f_i^{OL}$ (32)

2.3.1. Convenção Simétrica e Assimétrica para a Norma lização do Coeficiente de Atividade

A normalização do coeficiente de atividade 12 significa a especificação do estado onde o coeficiente de atividade é unidade. Para componentes condensáveis (subcríticos), isto é, aqueles cuja temperatura crítica está acima da temperatura de equilibrio da solução, normaliza-se o coeficiente de atividade como segue

 $\gamma i \rightarrow 1$ quando $xi \rightarrow 1$.

Para tais componentes , a fugacidade torna-se igual à fra - ção molar vezes a fugacidade do estado líquido quando a composição da mistura se aproxima do líquido puro i; neste caso, a a fugacidade do estado padrão para o componente i é a fugacidade do líquido puro i e a normalização do coeficiente de atividade segue a conveção simétrica.

Contudo, se a mistura liquida contém componentes supercriticos (H2, N2 à temperatura ambiente), a extrapola - ção das propriedades do liquido puro às condições de equilibrio perde toda a significação física.

Para um componente não condensável é conveniente usar uma normalização diferente da anterior; em seu lugar nós usamos

 $\gamma i^* \rightarrow 1$ quando $xi \rightarrow 0$

O propósito do asterisco é chamar a atenção para a diferença na normalização.

A normalização mostrada acima torna a fugacidade

do componente i igual à fração molar vezes a fugacidade do estado padrão do componente i quando este está à diluição infinita. A região de concentração onde o coeficiente de a tividade de um componente diluido é igual à unidade é chama da de solução diluida ideal ou região da lei de Henry (ver seção 2.2). A constante característica para uma solmção ide al é a constante de Henry H definida por

$$H = \lim_{x \to 0} \frac{fi^{L}}{xi} .$$

Em uma solução líquida binária contendo um componente não condensável e um componente condensável, costuma-se referir o primeiro como soluto e o segundo como soluto e o vente. Usa-se o primeiro critério de normalização citado para o coeficiente de atividade do solvente. Como as normalizações para os dois componentes não são as mesmas, o sistema segue uma convenção assimétrica. A fugacidade do estado padrão do solvente é a fugacidade do líquido puro i e a fugacidade do estado padrão do solvente é a fugacidade do líquido puro i e a fugacidade do estado padrão do solvente é a constante de Henry.

O uso da constante de Henry para a fugacidade do estado padrão significa que esta, para um componente não condensável, depende não somente da temperatura mas também da natureza do solvente.

Em uma mistura de solventes, convém definir a fugacidade do estado padrão do componente não condensável como a constante de Henry e um solvente puro servindo como referência (r). Para um sistema multicomponente, cada compo

nente condensavel segue a seguinte normalização:

$$\gamma i \rightarrow 1$$
 quando $xi \rightarrow 1$ e

$$f_i^{oL}$$
 = fugacidade do líquido puro i .

Para um componente não condensável,

$$\gamma i^* \rightarrow 1$$
 quando $xi \rightarrow 0$ e

$$f_i^{OL} = Hi$$
 (no puro r) ϵ

$$xr \rightarrow 1$$

onde

Hi (no puro r)
$$\equiv$$
 $\lim_{x \to 0} \frac{fi^{L}}{xi}$

2.4. A Fase de Vapor

Nos cálculos de equilíbrio líquido-vapor é ne - cessário calcular separadamente a fugacidade de cada componente em cada uma das duas fases.

Qaundo um sistema se apresenta distante das con dições críticas, a fase vapor é caracterizada por densida - des relativamente baixa, isto é, as moléculas estão distantes e interagem umas com as outras menos frequentemente do que as moléculas na fase líquida.

É comum assumirmos que, nos casos de equilibrio líquido-vapor, a fase líquida seja tratada como não ideal e a fase va por, com uma boa aproximação, seja tratada como gás ideal.

Com o uso da computação na resolução de problemas envolvendo equilibrio liquido-vapor, é conveniente um tratamento não ideal para a fase de vapor pois, em muitos casos, mesmo a baixas ou moderadas pressões, a não idealida de da fase vapor não é negligenciável.

Algumas equações de natureza empirica tem sido proposta para o estudo das leis dos gases. O propósito de tais equações é encontrar relações PVT (pressão, volume, tem peratura) que sirvam para todos os gases, mas que permitam a identificação de diferenças entre estes, através de valores de constantes incluidas nas equações.

Uma das melhores equações, com base na teoria da mecânica estatística, é a expansão virial dos gases 13:

$$Z = 1 + \frac{B}{\dot{V}} + \frac{C}{V^2} + \frac{D}{V^3} + \dots$$
 (33)

Nesta equação as constantes B, C, D, etc... são conhecidas como segundo, terceiro, quarto, etc... coeficientes viriais respectivamente e são funções da temperatura e da composi - ção mas não da pressão; cada termo subsequente na expansão virial abrange uma correção de mais alta ordem para a lei do gás ideal, onde Z = 1. Estes termos surgem da teoria de interações envolvendo duas, três, quatro, etc..., moléculas respectivamente.

No limite, quando $P \to 0$ e $V \to \infty$, a equação (33) se reduz à lei do gás ideal; à pressões finitas as interações bimoleculares e trimoleculares são importantes e os dois primeiros termos devem ser incluidos. Para pressões mais altas os termos de ordem maior tornam-se importantes e devem ser incluidos, havendo então, uma relação entre a faixa de pressão trabalhada e o número de termos requerido na expansão.

Dados do 2º coeficiente virial são relativamente fáceis de se avaliar usando-se correlações existentes, como as que discutiremos adiante, porém, pouco se conhece acerca do terceiro, quarto e mais altos coeficientes viriais. Para propósitos práticos, o uso da equação virial é limitada a faixas de pressão para as quais a equação, truncada depois do 3º termo fornece uma boa aproximação e isto geralmente significa uma pressão limite correspondente à densidade proximamente iqual à densidade crítica.

Uma forma alternativa da equação virial apresenta a expansão de Z como uma série de potências em P como abaixo:

$$Z = 1 + B'P + C'P^2 + D'P^3 + \dots$$
 (34)

Uma série infinita desta expansão é inteiramente equivalente à série infinita da equação (33) e os coeficientes desta duas séries são rigorosamente relacionados pelas equações

$$B' = \frac{B}{RT} \tag{35}$$

$$C' = \frac{C - B^2}{(RT)^2} \tag{36}$$

etc...

A equação (35) é usada com a equação (34) truncada depois do 2º termo para dar:

$$Z = 1 + \frac{BP}{RT} , \qquad (37)$$

sendo esta equação muito usada a baixas pressões nas aplicações e resoluções de problemas de equilibrio. A equação (34) é mais precisa do que a equação (33), se truncada depois do 2º termo, e apresenta a conveniência de poder ser resolvida explicitamente para volume. Quando truncada em três termos a expansão 1/V é superior aquela em P. Para pressões maiores do que as mencionadas acima outras equações tem sido usadas, tais como, a equação de Redlich and Kwong 4 que tem sido con siderada favorável na representação de dados para a fase de vapor.

A questão da dependência da composição das constantes nas equações de estado não tem sido satisfatóriamente resolvida, exceto para os coeficientes viriais, cuja exata dependência da composição é fornecida pela mecânica estatística. Por outro lado, a dependência da temperatura dos coeficientes viriais não é avaliada pela teoria, e para isto expressões empíricas são usadas.

O segundo coeficiente virial para misturas gasosas é relacionado à composição pela equação:

$$B = \sum \sum (yi \ yj \ Bij)$$

$$i \ i$$

onde y representa a fração molar na mistura gasosa e os índices i e j identificam os constituintes e ambos se aplicam a todos os componentes da mistura. Bij representa um coeficiente virial característico de interações bimoleculares entre uma molécula i e uma molécula j. Uma aplicação às misturas binárias mostra um exemplo do uso da equação (38), ou seja

$$B = y_1^2 B11 + 2y_1y_2 B12 + y_2^2 B22$$
 (39)

onde Bll e B22 são os coeficientes viriais dos constituintes puros 1 e 2 enquanto que Bl2 é o coeficiente virial cruzado com significado apenas na mistura. Os valores de Bij são fun cões somente da temperatura.

2.5. Coeficiente de Fugacidade da Fase de Vapor

É conveniente trabalhar com a razão da fugacidade pela pressão ao invés da fugacidade somente e esta razão,
denominada coeficiente de fugacidade, está mostrada nas equa
cões abaixo:

para uma mistura: $\rho = f/P$

para um material puro: $\rho i= fi/P$

para um constituinte na mistura: ρ̂i= fi/YiP ;

para um gas ideal e para um gas real quando $P \rightarrow 0$ todos os três coeficientes de fugacidade tendem à unidade.

Substraindo-se a equação

$$d (nlnP) = n \underline{dP} + \Sigma (lnPdni)$$
(40)

da equação (15) e substituindo-se: f/P por ρ ; fi/yiP por $\hat{\rho}$ i; V - RT por ΔV ' (negativo do volume residual) resulta em:

d
$$(nln\rho) = \frac{n \Delta H'}{RT^2} dt - \frac{n \Delta V'}{RT} dP + \Sigma (ln\hat{\rho}idni) ; (41)$$

pelo mesmo caminho usado na dedução da equação (17), podemos chegar a uma equação geral de coeficiente de fugacidade para misturas gasosas, escrevendo-se a partir da equação (41):

$$\frac{\Delta H'}{RT^2} dT - \frac{\Delta V'}{RT} dP - \Sigma (xidln\hat{\rho}i) = 0$$
 (42)

2.5.1. Determinação do Coeficiente de Fugacidade em Misturas Gasosas

A dedução abaixo, utilizando algumas equações anteriores, visa alcançar a importância que o coeficiente de fugacidade para misturas gasosas tem no tratamento geral de equilíbrio líquido-vapor.

Pela equação (42), a T constante, podemos escrever

$$d \ln \hat{\rho} i = \frac{\overline{V}i - V'i}{RT} dP$$
 (43)

sendo $\overline{V}i$ o volume parcial molar de i na mistura gasosa. Com a substituição de $\overline{V}i$ por $\overline{Z}iRT/P$ e de V' por RT/P e integrando a equação resultante de $P \to 0$ a P, com T e Y constante,

obtemos:

$$\ln \hat{\rho} i = \int_{\mathbf{0}}^{\mathbf{P}} (\overline{\mathbf{Z}} i - 1) \frac{d\mathbf{P}}{\mathbf{P}}$$
 (42)

A diferenciação da equação (37), aplicada para o número total de moles na mistura, em relação ao número de moles do componente i conduz a :

$$\begin{bmatrix} \frac{\partial (nZ)}{\partial ni} \end{bmatrix}_{T,P,nj} = \overline{Z}i = 1 + \underline{P}_{RT} \begin{bmatrix} \frac{\partial (nB)}{\partial ni} \end{bmatrix}_{T,nj};$$
(43)

desde que nB não é função de P, a equação (42) torna-se:

$$\ln \hat{\rho} i = \frac{P}{RT} \left[\frac{\partial (nB)}{\partial ni} \right]_{T,nj}$$
 (44)

A diferenciação da equação (38) e a substituição na equação (44) fornece, depois de simplificada, o segundo coeficiente virial B como função do coeficiente de fugacidade para a fa se de vapor:

$$\ln \hat{\rho}i = \begin{bmatrix} 2 & \Sigma & (yk Bik) - B & \underline{P} \\ K & RT \end{bmatrix}$$
(45)

onde K varia sobre todos os constituintes e i identifica uma espécie particular. Quando tomamos Bik = $\frac{1}{2}$ (Bii + Bkk), esta equação se reduz ao caso de solução ideal, para a qual $\hat{\rho}$ i = ρ i . Para um sistema binário de constituintes 1 e 2 a equação (45) se transforma em:

$$\ln \hat{\rho}_1 = (B11 + y_2^2 / 12) \frac{P}{RT}$$
 (46)

$$\ln \hat{\rho}^2 = (B22 + y_2^2 p^2 12) \frac{P}{RT}$$
 (47)

onde

$$\int_{0}^{6} 12 = 2 B12 - B11 - B22$$
 (48)

Uma eguação de estado dando Z como uma função explícita de V, requer um caminho diferente deste abordado.

Uma relação termodinâmica rigorosa mostrando a dependência de Z em relação a V é dada por Beattie 15.

2.6 Correlação para o Segundo Coeficiente Virial

Para obtermos valores precisos de Bii e Bjj é necessário termos dados volumétricos precisos para os gases puros i e j; para valores de boa confiabilidade de Bij é necessário termos dados volumétricos precisos para misturas gasosas de i e j. Tais dados são usualmente disponíveis e é, então, necessário estimar as correlações para o segundo coeficiente virial.

Estas correlações variam consideravelmente em sua precisão; em geral, é possivel estimar o segundo coeficiente virial de gases puros não polares com uma boa precisão e o segundo coeficiente virial cruzado Bij para misturas de gases não polares também com boa precisão, se os componentes i e j tem tamanho molecular e volatilidade semelhantes.

O segundo coeficiente virial para gases puros polares pode ser estimado com menos precisão, especialmente se o gas tem uma tendência a se associar (por exemplo com forma ção de fonte de hidrogênio). O segundo coeficiente virial cruzado pode ser estimado apenas aproximadamente se i ou j (ou ambos) são Polares.

Os sistemas de equilibrio líquido-vapor a pressões normais não são muito sensíveis aos coeficientes de fugacida de e, então, os coeficientes viriais de precisão limitada, não introduzem erros acentuados nos cálculos de equilíbrio. Contudo, é melhor utilizar valores aproximados do segundo coeficiente virial do que assumir um comportamento ideal da fa se gasosa.

Para gases não polares uma excelente correlação para Bii é mostrada por Pitzer e Curl^{16,17} baseada na teoria dos três - parâmetros dos estados correspondentes. As equa - ções que fornecem as correlações serão mostradas adiante.

2.7 A Fase Liquida

O problema principal pertinente ao estudo de equilibrio é relacionar as propriedades da mistura aquelas de seus componentes com um mínimo de informações experimentais da mistura.

O caminho final almejado é predizer as proprieda des da mistura usando-se somente dados dos componentes puros. Muitos progressos tem sido feitos neste sentido e para alguns tipos de mistura é possível fazer boas estimativas das suas propriedades usando teorias aproximadas das soluções: 18,19,20,21

2.7.1 A Fugacidade da Fase Liquida

A fugacidade de qualquer componente i na fase li quida \mathbf{f}_{i}^{L} é relacionada a xi, sua fração molar nesta fase pe la equação \mathbf{f}_{i}^{0}

$$\hat{f}_{i}^{L} = \gamma i \times i f_{i}^{OL}$$
(49)

onde yi é o coeficiente de atividade de i e f^oi é a fugacidade de i no estado de reterência (para simplificar, desprezamos o subscrito L das equações, a partir daqui). O coeficiente de atividade depende da composição, temperatura e pressão da mistura líquida e também do estado de referência escolhido. O própósito do coeficiente de atividade é relacionar a fugacidade de i na mistura (fi) ao seu valor no estado padrão ou referência (f^oi).

Os estados de referência mais comuns são aqueles discutidos no item 2.2, baseados na regra de Lewis and Randall e na lei de Henry. Em ambos os casos f^oi é a fugacidade do líquido puro i à temperatura e pressão do sistema, sendo deste modo, conveniente considerar f^oi próximo a fi.

A partir das considerações feitas acima, para um mol de um liquido puro i, a T constante, a equação (17) pode ser reescrita da seguinte forma:

$$dlnfi = \frac{Vi^{L}}{RT} dP , \qquad (50)$$

onde Vi^L é o volume molar do líquido puro i. A integração da equação (50) de uma pressão de vapor do líquido puro i à pressão de vapor do sistema, fornece:

$$\ln \hat{f}i - \ln f_i^{sat} = \frac{Vi^L}{RT} (P - Pi^{sat})$$
 (51)

onde a grandeza Vi^L é assumida ser independente da pressão.

O valor de ln fi sat dado pela equação:

$$\ln \rho_{i}^{sat} = \ln \frac{f_{i}^{sat}}{\rho_{i}^{sat}} = \frac{B_{i} \rho_{i}^{sat}}{RT} , \qquad (52)$$

substituindo esta expressão na equação (51) e assumindo lnfi = lnfi^o, podemos escrever:

$$\ln \text{fi}^{\circ} = \frac{\text{Bii Pi}^{\text{sat}}}{\text{RT}} + \ln \text{Pi}^{\text{sat}} + \frac{\text{Vi}^{\text{L}}}{\text{RT}} (\text{P - Pi}^{\text{sat}}); (53)$$

particularizando para dois componentes e escrevendo Pi sat = Pi^O, resulta:

$$\ln \text{ fl}^{\text{O}} = \frac{\text{Bll pl}^{\text{O}}}{\text{RT}} + \ln \text{ pl}^{\text{O}} + \frac{\text{Vl}^{\text{L}}}{\text{RT}} (\text{ P - Pl}^{\text{O}}) \text{ e} (54)$$

$$\ln f2^{O} = B22 P2^{O} + \ln P2^{O} + \frac{V2^{L}}{RT} (P - P2^{O})$$
 (55)

Estas equações representam as fugacidades do esta do de referência, relacionados a valores experimentais e perfeitamente avaliáveis.

2.7.2. A Equação do Coeficiente de Atividade para um Sistema Binário

A substituição das equações (46), (47) e (54)

(55) na equação (32), escrita para componentes $1\ e\ 2\ como$

$$\hat{\rho}$$
l yl P = γ l xl fl^o

e
$$\hat{\rho}$$
2 y2 P = γ 2 x2 f2^O

resulta nas duas equações abaixo para os coeficentes de at \underline{i} vidade de sistemas binários 22,23 :

$$\ln \gamma 1 = \ln \frac{y + P}{x + P^{0}} + \frac{(B + V + V + P^{0}) + P^{0}}{RT} + \frac{P^{0} + P^{0}}{RT}$$
 (56)

$$\ln \gamma^2 = \ln \underline{y^2 P} + \underline{(B22 - V2^L)(P-P2^O)} + \underline{PP12 y_1^2}$$

$$\times 2 P2^O \qquad \qquad RT \qquad \qquad RT$$
(57)

onde Pl^{O} e P2^{O} são as pressões parciais dos componentes l e 2 na temperatura T; Vl^{L} e V2^{L} são os volumes molares do líqui do; a função fl2 foi definida pela equação (48); P é a pressão total; R é a constante dos gases. As outras grandezas das equações acima foram definidas anteriormente.

Para a avaliação dos coeficientes viriais Bl1 e B22 são usadas as seguintes equações 12

$$Bii = \underbrace{R \ Tci}_{Pci} \ (f^{O} + Wi \ f^{I})$$
 (58)

Wi =
$$-\log \left(\frac{\text{Pi}^{S}}{\text{Pci}}\right) - 1,000$$
 (59)

$$f^{O} = 0,145 - \frac{0,330}{TR} - \frac{0,1385}{TR^{2}} - \frac{0,0121}{TR^{3}}$$
 (60)

$$f^{1} = 0,073 + \frac{0,460}{TR} + \frac{0,460}{TR^{2}} - \frac{0,097}{TR^{3}} - \frac{0,0093}{TR^{8}}$$
 (61)

sendo TR =
$$\frac{T}{Tci}$$

onde Tci e Pci são a temperatura e a pressão críticas do componente i; Wi o fator de acentricidade; Pi^S a pressão parcial do componente i quando TR = 0,7. Os valores das constantes críticas (Tci, Pci e Vci) para os vários compostos podem ser calculados usando-se o método de Lydersen, de acordo com Reid e Sherwood²⁴. Para o cálculo do segundo coeficiente virial cruzado, Bl2, são usadas as seguintes equações:

B12 =
$$\frac{\text{R Tc12}}{\text{PC12}}$$
 (f^O + W12 f¹) (62)

$$Tc12 = (Tc1 . Tc2)^{1/2}$$
 (63)

$$W12 = 1/2 (W1 + W2)$$
 (64)

$$Pc12 = \frac{4 \text{ Tc}12 \left(\frac{\text{Pcl. Vcl}}{\text{Tcl}} + \frac{\text{Pc2. Vc2}}{\text{Tc2}} \right)}{\left(\text{Vcl}^{1/3} + \text{Vc2}^{1/3} \right)^3}$$
(65)

onde Vci representa o volume crítico.

2.8. As Propriedades de Excesso das Soluções

O uso destas propriedades representa a melhor e mais sensível medida do comportamento da mistura em relação

as dos componentes puros. A mais usual destas funções é a \underline{e} nergia livre molar de excesso de Gibbs (G^E). Um gráfico de G^E versus a fração molar apresenta um máximo, que indica a magnitude do desvio da idealidade. Como 25

$$\frac{G^{E}}{RT} = \sum_{E} \left[xi \quad \overline{G}i^{E} \right]$$
 (66)

е

podemos escrever:

$$\frac{G^{E}}{RT} = \Sigma \quad (xl ln \gamma i)$$
 (68)

que é a equação que relaciona a função de excesso de Gibbs com o coeficiente de atividade da fase líquida. Através dos dados de xi e γ i aplicados na equação (68), pode-se verificar graficamente a magnitude dos desvios da idealidade para os sistemas estudados e conhecer o comportamento da função termodinâmica G^E , que foi originalmente introduzida por Scatchard 26 .

2.9. <u>Propriedades das Soluções Envolvendo Sistemas Multicom ponentes</u>

Técnicas para o cálculo de propriedades das soluções de sistemas com multicomponentes foram descritas há alguns anos por Van Laar²⁷ e em termos mais modernos por Wohl²⁸. Algumas modificações do método de Wohl²⁸ tem sido apresentados por Black 29,30 , Van Laar 27,31 , Margules 32 , Scatchard and Hamer 33 e Benedict et al 34 .

O procedimento de Wohl²⁸ expressa G^E como uma série polimonial de frações molares (ou frações volumétricas) dos componentes na mistura. Os termos da segunda potência nes tas séries representam desvios do comportamento ideal devido a interações entre duas moléculas; os de terceira potência, aqueles devido a interação entre três moléculas e assim por diante.

Uma das desvantagens desta aproximação é que não é possível predizer as propriedades de multicomponentes a partir de dados binários pois termos de mais alta ordem neces - sáriamente incluem interações entre três ou mais componentes dissimilares.

Vários procedimentos semi empíricos tem sido fornecidos para se resolver esta dificuldade²⁸ e sua eficácia varia de uma mistura líquida para outra³⁵. As equações mais representativas serão descritas a seguir.

2.9.1. <u>As Equações de Wohl, Marqules, Van-Laar e</u> <u>Scatchard-Hamer</u>

No artigo original de Wohl²⁸ a equação escrita foi específica para misturas binárias e ternárias. Recentemente foi estendida formalmente por Hougen, Watson e Ragatz³⁶ para incluir misturas compostas de qualquer número de componentes. Para misturas binárias, a equação que contém 4 parâmetros é dada por

+
$$\Sigma$$
 Zi Zj Zk Zl a (69)
i,j,k,l ijkl

onde

aij ... a ijkl = constantes do tipo aij = aji; ql, q2 = constantes que podem ser consideradas como uma medida dos volumes molares dos componentes l e 2 puros:

$$z_1 = \frac{nlq1}{nlq1+n2q2}$$
, $z_2 = \frac{n2q2}{nlq1+n2q2}$

Relacionando os coeficientes de atividade ao primeiro somatório do lado direito da equação (69), a expressão resultante é chamada uma equação de dois parâmetros (i,j) e ela representa a interação de duas moléculas em grupos de duas; se o primeiro e o segundo somatório são empregados, a equação chama-se de três-par (i, j, k,) e representa a interação entre duas moléculas em grupos de três. Os valores de q podem ser relacionados a volumes molares dos componentes puros 33. Contudo, como o valor de q pode também ser relacionado como constantes arbitrárias, Z pode ser chamado de "fator q" como sugerido por Wohl 28.

Pela equação (69), particularizada para dois com ponentes, podemos escrever, utilizando o coeficiente de atividade:

$$ln\gamma l = \left[z_2^2 \quad A + 2 \left(\frac{Bql}{q^2} - A \right) zl \right]$$
 (70)

$$\ln \gamma 2 = \left[Z_1^2 \quad B \quad + \quad 2 \left[\frac{Aq2}{q1} \quad - \quad B \right] \quad Z_2 \right] \tag{71}$$

onde

$$A = q1$$
 (2 al2 + 3 al22)

$$B = q2$$
 (2 al2 + 3 al22);

se q1/q2 = 1, as equações (70) e (71) se reduzem às equações de Margulis 32 ; para q1/q2 = 1, segue da definição de 21 e 22 que 21 = xi e 22 = x2, então:

$$ln\gamma 1 = x_2^2 \left[A + 2 (B - A) x1 \right]$$
 (72)

$$1n\gamma 2 = x_1^2 \left[B + 2 (A - B) x_2 \right]$$
 (73)

que representam as equações de Margules para um sistema bin $\underline{\tilde{a}}$ rio.

A equação de dois parâmetros para uma mistura binaria consiste na expansão de somente o primeiro somatório do lado direito da equação (69); segundo aproximação semelhan te aquela mostrada quando chegamos nas equações (72) e (73), isto é, tomando-se q1/q2 = A/B obtemos as equações de Van Laar 27,31

$$ln\gamma l = \frac{A x^{2}}{\left[x^{2} + (A/B) x^{2}\right]^{2}} = \frac{A}{\left[1 + (A/B) (x^{2})\right]^{2}}$$
(74)

na forma sugerida por Carlson e Colburn³⁷.

Se o relacionamento q1/q2 = v1/v2 é suposto e-xistir, as equações (70) e (71) se reduzem as de Scatchard e Hamer 33, como segue:

$$ln\gamma 1 = Z2^2 \left[A + 2 (Bv1/v2 - A) Z1 \right]$$
 (75)

$$ln\gamma 2 = Zl^2 B + 2 (Bv2/v1 - B) Z2$$
 (76)

sendo

$$z1 = \frac{nlvl}{nlvl + n2v2} ; z2 = \frac{n2v2}{nlvl + n2v2}$$

2.9.2. <u>Comparação das Equações de Wohl, Margules</u>, Van Laar e Scatchard-Hamer^{3,3}

Tomando-se por base a existência de um relacionamento entre a constante e os volumes molares dos componen tes puros, as quantidades tomadas de ql/q2 = 1 significa dizer que os volumes molares dos componentes puros são aproximadamente iguais. Para misturas com baixo grau de similaridade, as equações de Van Laar são esperadas ser levemente superiores às de Margules. Em geral, a escolha de ql/q2 = vl/v2 contida nas equações de Scatchard-Hamer pode ser considerada superior à escolha ql/q2 = 1, na qual as equações de Margules são baseadas. A forma mais geral das equações de Wohl²⁸ é aquela representada pelas equações (70) e (71) e são mais precisas que as suas derivadas.

Para extendermos a equação (69) para um sistema multicomponente é só substituirmos o termo (xlql + x2q2) por

 $\Sigma^{\mathbf{C}}$ xhqh onde C é igual ao número total de componentes em uhel ma mistura. Também o denominador de cada Z definido abaixo da equação (69) é substituido por $\Sigma^{\mathbf{C}}$ nhqh.

Observando as equações de Van Laar, Margules e Scatchard-Hamer constatamos que somente os dois valores de γ e os respectivos valores de x são requeridos para determinar mos os valores das constantes. Se diversos dados são disponí veis, eles podem ser usados para encontrarmos os melhores valores das constantes pelo uso de um procedimento gráfico, tal como o método dos mínimos quadrados. As expressões dadas para γ 1 e γ 2 contém as mesmas constantes e, então, dois conjuntos de valores de constantes podem ser obtidos pelo uso do mesmo conjunto de dados experimentais; podemos obter então, uma média significativa que representa os diferentes valores de γ e x.

2.9.3. A Equação de Wilson

Uma expressão para a energia livre de excesso de Gibbs completamente diferente das anteriores foi proposta por Wilson 38, que escreve G^E como uma função logaritmica da composição líquida. A equação de Wilson tem uma base semi teórica e requer somente dois parâmetros para uma mistura binária. A extensão do modelo de Wilson para misturas constendo mais do que dois componentes não requer informações adicionais ãquelas usadas nos tratamentos anteriores. A equação de Wilson foi testada para uma variedade de sistemas binários e multicomponentes, mostrando fornecer uma excelente base para o cálculo de equilíbrio líquido-vapor em sistemas multicomponentes usando-se somente dados experimentais de misturas bi-

nárias. As qualidades e características desta equação são descritas pormenorizadamente por Orye e Prausnitz³⁹.

A energia livre de excesso de Gibbs consiste de duas partes, uma a entalpia de excesso e a outra a entropia de excesso, de acordo com a equação

$$G^{E} = H^{E} - TS^{E} , \qquad (77)$$

sendo que , a mais simples consideração a cerca de G^E é torná-la igual a zero levando-nos às equações de soluções <u>i</u> deais. Uma outra consideração é tornar s^E ou H^E igual a zero. A maioria das equações para a energia livre de excesso de Gibbs foram derivadas assumindo-se S^E = 0 e escrevendo - se H^E como uma expansão polinomial das frações volumétricas ou molares ⁴⁰. Esta condição conduz ao conceito de soluções regulares e Van Laar²⁷, Scatchard²⁶ e outros ^{32,34} tem assumido esta condição. A condição H^E = 0 conduz ao conceito de soluções atérmicas desenvolvido por Flory ⁴¹e Huggins ⁴². A equação de Wilson é uma extensão semiempírica da equação teó rica de Flory ⁴¹ e Huggins ⁴², porém, Wilson considera que as misturas de moléculas diferem não somente em tamanho mas também em suas forças intermoleculares.

A equação de Flory-Huggins para misturas atérmicas é:

$$\frac{G^{E}}{RT} = \begin{array}{cccc} N & & & \\ \Sigma & \times i & \ln & \underline{\Phi i} \\ & & i=1 & & \times i \end{array}$$
 (78)

onde Φ é a fração volumétrica de i e xi a fração molar de i; estas duas grandezas são relacionadas por

$$\Phi i = \frac{xi \ Vi^{L}}{N} \\ \sum_{i=1}^{N} xi Vi^{L}$$
(79)

onde Vi^L é o volume liquido molar do componente puro i. Para misturas onde todos os componentes tem o mesmo volume liquido molar, $\Phi = \text{xi}$, a equação de Flory-Huggins prediz o comportamento ideal.

para derivar a equação de Wilson consideremos <u>u</u> ma solução binária de componentes 1 e 2. Se observamos uma molécula central do tipo 1, a probabilidade de encontrar <u>u</u> ma molécula do tipo 2 comparada âquela de encontrar uma molécula do tipo 1 ao redor desta molécula central é definida por:

$$\frac{x12}{x11} = \frac{x2 \exp - \left[\lambda 12/RT\right]}{x1 \exp - \left[\lambda 11/RT\right]}$$
(80)

A equação (80) mostra que a taxa das quantidades das moléculas 1 e 2 ao redor de uma molécula central 1 é igual à razão das frações molares dos componentes 2 e 1 balancea das estatisticamente por fatores de Boltzmann; $\lambda 12$ e $\lambda 11$ são respectivamente, proporcionais às energias de interação entre as moléculas 1-2 e 1-1. De forma análoga à equação (80), a probabilidade de encontrar uma molécula do tipo 1 comparada à probabilidade de encontrar uma molécula do tipo 1 comparada à probabilidade de encontrar uma molécula do tipo 1 comparada à probabilidade de encontrar uma molécula do tipo 1 comparada à probabilidade de encontrar uma molécula do tipo 1 comparada à probabilidade de encontrar uma molécula do tipo 1 comparada à probabilidade de encontrar uma molécula do tipo 1 comparada à probabilidade de encontrar uma molécula do tipo 10 encontrar uma molécula do tipo 11 encontrar uma molécula do tipo 12 encontrar uma molécula do tipo 13 encontrar uma molécula do tipo 14 encontrar uma molécula do tipo 15 encontrar uma moléc

$$\frac{x21}{x22} = \frac{x1 \text{ exp.} - \left[\lambda 12/\text{RT}\right]}{x1 \text{ exp.} - \left[\lambda 22/\text{RT}\right]}$$
(81)

Usando as definições empregadas nas equações (80) e (81), Wilson tem empiricamente redefinido as frações volumétricas da equação de Flory-Huggins em termos das frações volumétricas locais ξ_1 e ξ_2 ; ou seja,

$$\xi_{1} = \frac{\text{x1 Vl}^{L} \exp - \left[\lambda 11/\text{RT}\right]}{\text{x1 Vl}^{L} \exp - \left[\lambda 11/\text{RT} + \text{x2V2}^{L} \exp - \lambda 12/\text{RT}\right]}$$
(82)

 $_{\rm e}$

$$\xi_2 = \frac{x2 \text{ V2}^{\text{L}} \exp - \left[\lambda 22/\text{RT}\right]}{x2 \text{ V2}^{\text{L}} \exp - \left[\lambda 22/\text{RT} + x1\text{V1}^{\text{L}} \exp - \lambda 22/\text{RT}\right]}$$
(83)

Se definirmos

$$Al2 = V2^{L}/V1^{L} \exp - \left[(\lambda 12 - \lambda 11) / RT \right]$$
 (84)

e

A21 =
$$V1^{L}/V2^{L} \exp - \left[(\lambda_{12} - \lambda_{22}) / RT \right]$$
, (85)

onde Al2 e A21 são as constantes binárias de Wilson, e substituimos as frações volumétricas locais ξ_1 e ξ_2 por Φ_1 e Φ_2 na equação (78), obtemos a equação de Wilson para uma solução binária e envolvendo a energia livre de excesso de Gibbs:

$$G^{E} = -x1 \ln (x1 + A12 x2) - x2 \ln (A21x1 + x2)$$
 (86)

A generalização deste resultado para uma solução contendo qualquer número de membros desejados é

$$G^{E}/RT = -\sum_{i=1}^{N} xiln \left[\sum_{j=1}^{N} xj Aij \right]$$
(87)

onde

$$Aij = Vj^{L}/Vi^{L} \exp - \left[(\lambda ij - \lambda ii)/RT \right]$$
 (88)

e

Aji =
$$Vj^{L}/Vi^{L} \exp - \left[(\lambda ji - \lambda jj)/RT \right]$$
 (89)

sendo que λ ij = λ ji e Aij \neq Aji. O resultado das equações (86), (87) e (88), escritas para γ K são mostradas abaixo:

$$\ln \gamma K = -\ln \sum_{j=1}^{N} \left[x_j \text{ Akj} \right] + \lim_{\substack{1-\Sigma \\ i=1}} \frac{x_i \text{ Aik}}{N}, \quad (90)$$

e para um sistema binário,

$$ln\gamma l = -ln (xl+Al2x2) + x2 \left[\frac{Al2}{xl+Al2x2} - \frac{A2l}{A2lxl+x2} \right] (91)$$

е

$$\ln \gamma 2 = -\ln (x2 + A21x1) + x1 \left[\frac{A12}{x1 + A12x2} - \frac{A21}{A21x1 + x2} \right] \cdot (92)$$

2.9.3.1. Vantagens da Equação de Wilson

Com uma boa aproximação nos podemos considerar as quantidades (λ ij - λ ii) e (λ ij - λ jj) independentes da temperatura; isto significa que os parâmetros obtidos de da dos experimentais a uma temperatura podem ser usados com ra

zoável confiança para predizer coeficientes de atividade a alguma outra temperatura não muito distante. Esta é uma importante vantagem em sistemas de destilação isobárica onde a temperatura varia de prato a prato.

Uma outra vantagem do modelo de Wilson está na resolução de problemas envolvendo soluções multicomponentes, onde para o modelo de Wilson se requer parâmetros obtidos somente de dados binários. Este fato é de grande importância econômica, pois a quantidade de trabalho experimental reque rido para caracterizar uma solução multicomponente torna-se menor.

Para uma mistura de componentes i, j os dois parâmetros Aij e Aji podem ser obtidos de dados binários de e quilíbrio líquido-vapor. Em princípio somente um ponto experimental (x, y, T e P) é necessário, e algumas vezes é possível obter uma boa estimativa dos parâmetros meramente da composição azeotrópica e ponto de ebulição. Em geral, no entanto, obtém-se uma série de dados isotérmicos ou isobári cos.

Tem-se calculado os parâmetros de Wilson para muitos sistemas binários, tais como: hidrocarbonetos, álcoois, esters, eteres, cetona, água, etc...; em todos os casos encontrou-se que a equação de Wilson serve muito bem na representação dos dados experimentais. Quando comparada a abilidade da equação de Wilson com a equação de Van Laar ou com a de Margules, concluiu-se que a equação de Wilson foi sempre tão boa quanto as outras e em muitos casos muito melhor. Entre alguns sistemas estudados podemos citar: Etanol -Hexano, sistema isobárico 43; Nitro-Metano-Tetra-cloreto de Carbono, sistema isotérmico 44, Acetona-Água, sistema isobárico 45.

2.9.3.2. Significação dos Parâmetros

Embora a diferença de energia λ ij - λ ii da equação de Wilson não tem uma definição rigorosa e não pode ser calculada a priori, é possível avaliar a tendência desta quantidade de forma qualitativa. Os Parâmetros λ ij e λ ii são sempre negativos porque na fase líquida a energia potencial é sempre menor do que aquela do gás ideal cuja energia potencial é zero. Quando λ ij - λ ii < 0 , então $|\lambda$ ij > $|\lambda$ ii| sendo mais forte a energia de interação intramolecular e quando λ ij - λ ii > 0 , então $|\lambda$ ij | < $|\lambda$ ii| sendo mais forte a energia de interação intramolecular e

As constantes de Wilson Aij e Aji indicam a mag nitude dos desvios da idealidade. Para soluções ideais Aij = Aji $\stackrel{?}{=}$ 1; sendo ambos Aij e Aji maiores do que 1, a solução apresenta desvios negativos da idealidade, isto é, G^E $\stackrel{\checkmark}{<}$ 0. São vários os trabalhos onde a equação de Wilson e os seus parâmetros são discutidos em detalhes.

2.10. Programas de Cálculo

Com a disponibilidade de computadores de grande velocidade e de programas não lineares de ajustes de curvas, tem tido muito incremento, mais recentemente, a realização de cálculos envolvendo o equilíbrio líquido-vapor de misturas multi-componentes. O propósito do uso da computação é propiciar a obtenção de informações acerca das propriedades de um sistema a partir de um mínimo de informações experimentais.

Métodos detalhados de computação para o cálculo

dos parâmetros necessários à avaliação do coeficiente de atividade são apresentados por Hanson⁵², Holland⁵³ e Praus - nitz¹². Um programa geral multiparamétrico de ajuste de cur vas em linguagem "basic", muito útil no estudo de equilíbrio líquido-vapor, foi desenvolvido por Meites⁵⁴.

Relacionamos a seguir algumas etapas auxiliares, geralmente usadas junto ao programa de cálculo dos coeficientes de atividade: cálculo dos coeficientes viriais a partir das correlações para o segundo coeficiente virial, cálculo do volume líquido molar a partir dos dados de densidade, cálculos relacionados à equação de Antoine. Todos os programas de cálculo de parâmetros usam o método de ajuste de curvas, isto é, procuram os valores dos parâmetros que produzem menor desvio em relação aos dados experimentais.

2.11. <u>Determinação Experimental do Equilibrio Liquido-</u> Vapor

Um grande número de sistemas industrialmente im portantes, cujas relações de equilibrio não podem ser calculadas por considerações puramente teóricas, devem ser estudados por determinação experimental direta. A determinação experimental de equilibrio líquido-vapor significa a separação de amostras da fase líquida e da fase de vapor, que estão em equilíbiro estacionário, para determinar suas concentrações analíticamente.

As curvas de equilibrio podem ser obtidas a T ou P constante. Para cálculos de destilação os dados isobáriços são especialmente importantes e sua determinação é também mais simples. Para se obter boa precisão nas medidas é

necessário haver um controle da temperatura e pressão, po - dendo ocorrer inconsistência nos dados dependendo dos cuida dos nas medidas das propriedades do sistema 55.

A construção do instrumental de trabalho pode <u>a</u> carretar erros, sendo que, a influência desses erros varia com a natureza do sistema estudado (volatilidade relativa, calor de vaporização, etc...). Embora não seja possível a construção de um aparelho que atenda satisfatóriamente a todos os sistemas que podem ser determinados é possível construir equipamentos com uma precisão suficiente para possibilitar os cálculos necessários em problemas de destilação.

Os métodos para determinação direta de dados de equilibrio podem ser classificados em: 1- Método de Destilação; 2- Método da Circulação; 3- Método Estático; 4- Método do Fluxo Contínuo.

2.11.1. Método de Destilação

Neste método, destila-se uma pequena quantidade de líquido do frasco de destilação, que contém uma grande quantidade de carga 6 . É um método muito simples mas que apresenta algumas desvantagens: requer grande quantidade de amostra líquida e permite a retirada de amostras somente da fase condensada, pois a composição da fase líquida deve per manecer praticamente constante. Grandes erros podem ser cau sados por condensação do vapor nas paredes frias do frasco de destilação no começo da experiência 57. É um método raramente usado, pois novas técnicas mais precisas foram elaboradas.

2.11.2. Método de Circulação

Este método é amplamente usado, sendo mais conveniente sua utilização na região de média e baixa pressão. Apesar dos aparelhos de circulação diferirem em detalhes, todos apresentam um esquema geral⁵⁸. Estes aparelhos podem ser classificados em dois grupos distintos:

- (a) aparelhos com circulação da fase de vapor;
- (b) aparelhos com circulação das fases liquida e vapor.

2.11.2.1. Aparelhos com Circulação da Fase de Vapor

Os primeiros aparelhos com circulação da fase de vapor foram propostos por Jamaguchi ⁵⁹ e por Sameshima ⁶⁰, mas o primeiro aparelho de equilibrio que funcionou satisfatóriamente foi construido por Othmer ⁶¹. Uma grande parte dos dados de equilibrio publicados tem sido obtidos com o aparelho de Othmer ou uma de suas modificações. Uma avaliação estatística destes dados obtidos mostra as diversas fontes de erro deste método, sendo a principal delas uma inadequada mistura do líquido no recipiente de ebulição. No retorno, o condensado é mais rico no constituinte mais volã til, sendoque a sua mistura com o líquido em ebulição pode ocasionar uma mistura imperfeita, causando gradientes de concentração e uma evaporação do condensado com ponto de ebulição mais baixo.

Jones e colaboradores 62 procuraram eliminar este problema introduzindo na instrumentação um misturador do vapor condensado com o líquido em fervura.

2.11.2.2. <u>Aparelhos com Circulação das Fases Líquidas</u> e Vapor

É imprecisa a medida do ponto de ebulição nos <u>a</u> parelhos tendo uma circulação somente da fase vapor, pois <u>es</u> ta não corresponde ao verdadeiro ponto de ebulição da mistura. Este erro é eliminado nos instrumentos contendo a bomba de Cottrell^{63,64,65,66}, que permite a presença de ambas as fases em contato com as paredes do reservatório do termôme tro, através de um bombeamento constante do líquido em fervura. As condições assim obtidas permitem um perfeito equilítorio entre as fases líquidas e vapor.

O primeiro instrumento deste tipo fornecendo bons resultados foi proposto por Gillespie 67 que, posteriormente, observou uma série de erros em seu aparelho. A principal incerteza era relacionada a retirada das amostras do líquido através do frasco de ebulição; a amostra assim retirada não correspondia ao líquido que estava em verdadeiro equipabrio com o vapor, isto é, a composição do líquido no frasco em ebulição diferia da composição do líquido em equilíbrio com a fase de vapor. Simples modificações foram propostas por Fowler e por Fowler e Morris 69; modificações posteriores foram feitas por Otsuki e Williams 70. A principal diferença entre o original de Gillespie e estes está no coletor especial colocado no retorno do líquido ao frasco de ebulição; é este coletor que vai permitir a retirada de amostras da fase líquida para análises.

2.11.3. O Método Estático

Neste método a solução é carregada dentro de um cilindro evacuado e este é colocado em um termostato. O cilindro é agitado até que se estabeleça o equilíbrio entre o líquido e seu vapor, quando então as amostras são removidas de ambas as fases para análises.

Apesar da aparente simplicidade do método, a remoção da amostra gasosa para análise causa grande dificulda de. A baixas pressões, a quantidade de vapor requerida para análises é da mesma ordem que a quantidade de vapor em equilibrio no sistema, de modo que a remoção da amostra causa pertubações no equilíbrio. Por isto, o método estático não é frequentemente usado a médias e baixas pressões.

Recentemente Scatchard, Wilson and Satkiewicz 71

desenvolveram um método sintético para faixas de normal e

baixas pressões e para sistemas com grande diferenças entre

as composições do líquido e do vapor. Wichterle and Hála 72

desenvolveram um método rápido, semi-micro, baseado na amos

tragem de pequenos volumes da fase de vapor, analisados por

cromatografia gasosa; cerca de 2 ml da amostra líquida são

necessários para a determinação de um ponto experimental. A

composição da fase líquida e determinada sinteticamente pela

adição de componentes puros, individuais, ao sistema tarado.

Maiores detalhes serão encontrados no artigo original 72.

2.11.4. O Método do Fluxo Continuo

Para sistemas de miscibilidade limitada da fase líquida, desenvolveu-se o método do fluxo contínuo. Neste método, ao contrário da circulação, alimenta-se o compartimento de equilíbrio com uma corrente de composição constan-

te, que pode ser a fase líquida ou a fase de vapor, ou ainda a combinação das duas fases.

Vários aparelhos utilizando este método foram desenvolvidos por Colburn 73 , Cathala 74 e Vilím et. al. 75 .

CAPÍTULO III

INSTRUMENTAÇÃO

A determinação experimental dos equilibrios 1½ quido-vapor foi realizada utilizando-se o método dinâmico.

O aparelho usado foi um ebuliômetro de circulação descrito neste capítulo. No projeto e construção de tais aparelhossão necessários cuidados para evitar fenômenos indesejáveis, tais como, superaquecimento, falso estado de equilibrio, gradientes de concentração, etc.. que podem causar resultadosimpreciosos. Um bom número de aparelhos têm sido descritos na literatura 76-77, sendo a maioria deles de difícil construção, principlamente para laboratórios de limitados recus sos. O nosso objetivo foi desenvolver um aparelho simples, que permitisse a obtenção de medidas precisas de equilíbrios.

3.1. Descrição da Instrumentação Usada

A instrumentação usada está mostrada no diagrama de bloco da figura 5. O ebuliômetro de circulação (A) está ligado diretamente a um sistema de aquecimento (C), a um isolamento térmico (D), a um condensador (E) e à linha de vácuo (B).

Para o sistema de aquecimento (C) foi usada - uma modificação de uma manta de aquecimento- modelo Fisatom

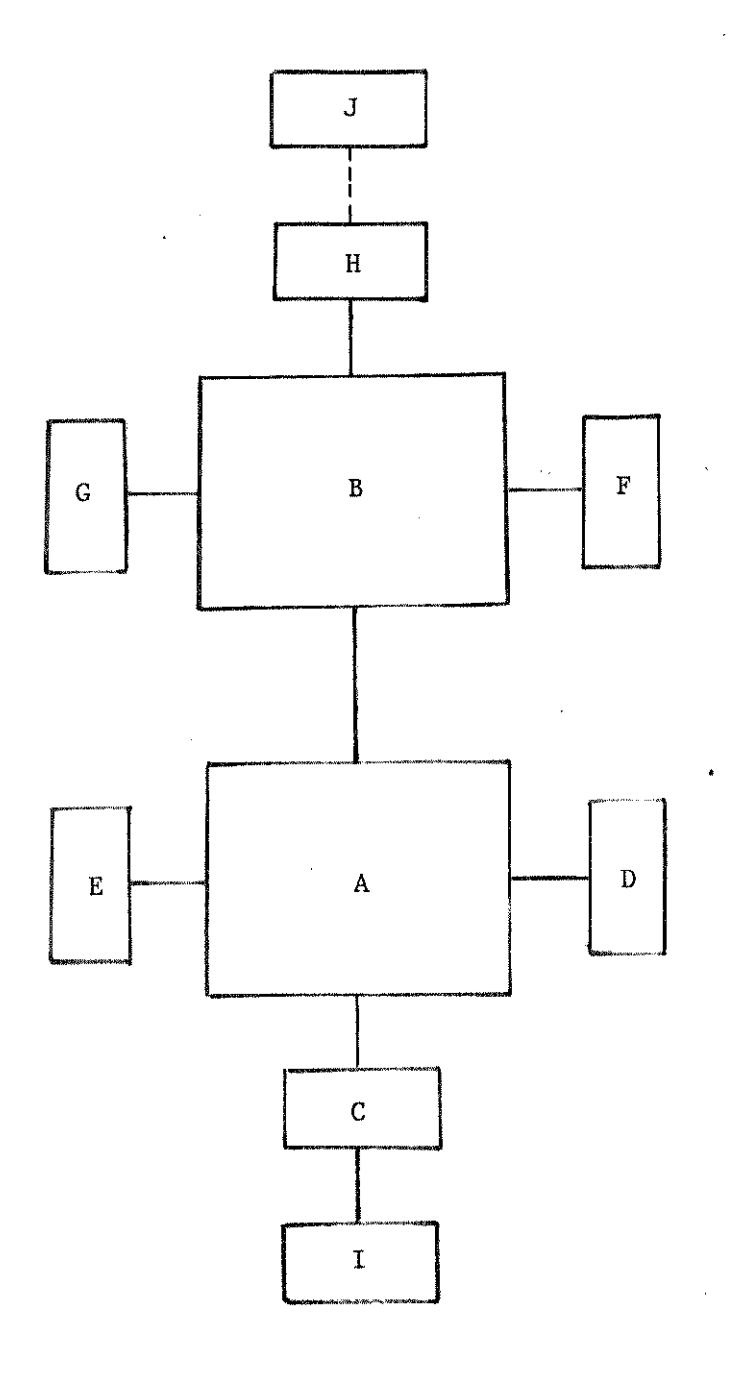


Figura 5 - Diagrama de Bloco da Instrumentação Usada.

(A)-Ebuliômetro de circulação; (B)-Linha de vácuo; (C)-Sistema de aquecimento; (D)-Sistema de isolamento; (E)Condensador; (F)-Balão de 200 1; (G)-Bomba de sucção; (H)Manômetro; (I)-Autotransfermador variável; (J)-Catetômetro.

de 180 W - construida em nosso laboratório (ver Figura 6). Esta modificação permitiu que o sistema de aquecimento (C) fosse reentrante no ebuliômetro, de modo a evitar formação indevida de bolhas de vapor. Ligado ao sistema de aquecimento (C) está o autotransformador variável (I), modelo da Sociedade Técnica Paulista S.A., que permite uma variação de 0-130 volts.Podemos, com este instrumento, alterar a quantidade de calor fornecida ao sistema.

O isolamento térmico (D) é constituido por fio de asbestos enrolado em todo o ebuliômetro, seguido de um envolvimento com lã de vidro e finalmente peças de poliuretamo é fundamental um completo isolamento de todo o sistema ebulioscópico para que não haja trocas de calor com o ambiente, pois isto acarretaria falsos estados de equilibrio e dificuldades em atinfi-lo.

O condensador (E), acoplado ao ebuliômetro, tem a função de condensar todo o vapor proveniente da mistura em fervura. Foi usado aqua de torneira e uma refigeração à tem peratura ambiente.

A linha de vácuo (B) (figura 7), tem como função permitir a realização de experiências a média e baixa pressão, sendo a ela acoplado um balão vazio de 2001. (F), uma bomba de sucção (G) modelo MEB (60 HZ, 1/3 CV,1740 RPM) e um manô - metro (H). O balão de 2001. (F) tem a função de amortecer - bruscas variações de pressão proveniente da mistura em ebulição. Auxilia, também, a manutenção da pressão desejada na experiência, sendo desnecessário a utilização da bomba de seçção (G) durante toda a experiência.

O manômetro (H) (figura 8) tem a função de medir a pressão do sistema e detectar variações na pressão que -

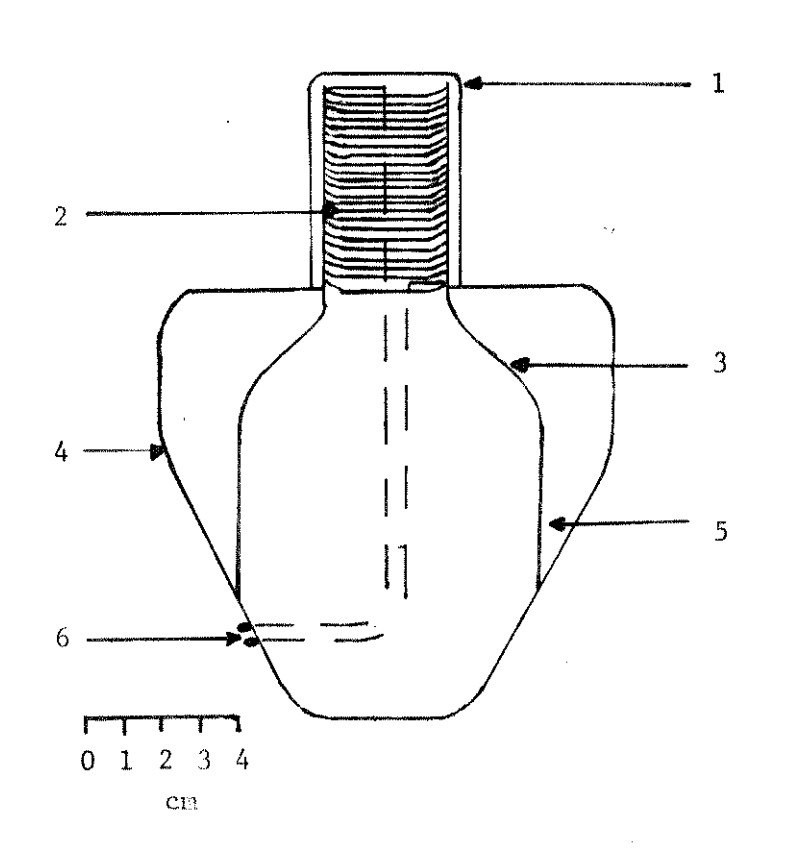


Figura 6 - Sistema de Aquecimento Reentrante

(1) Capa protetora de fios de amianto; (2) Fios de resistência encapados; (3) Funil de porcelana; (4) Capa protetora de metal; (5) Camada de gesso; (6) Tomada.

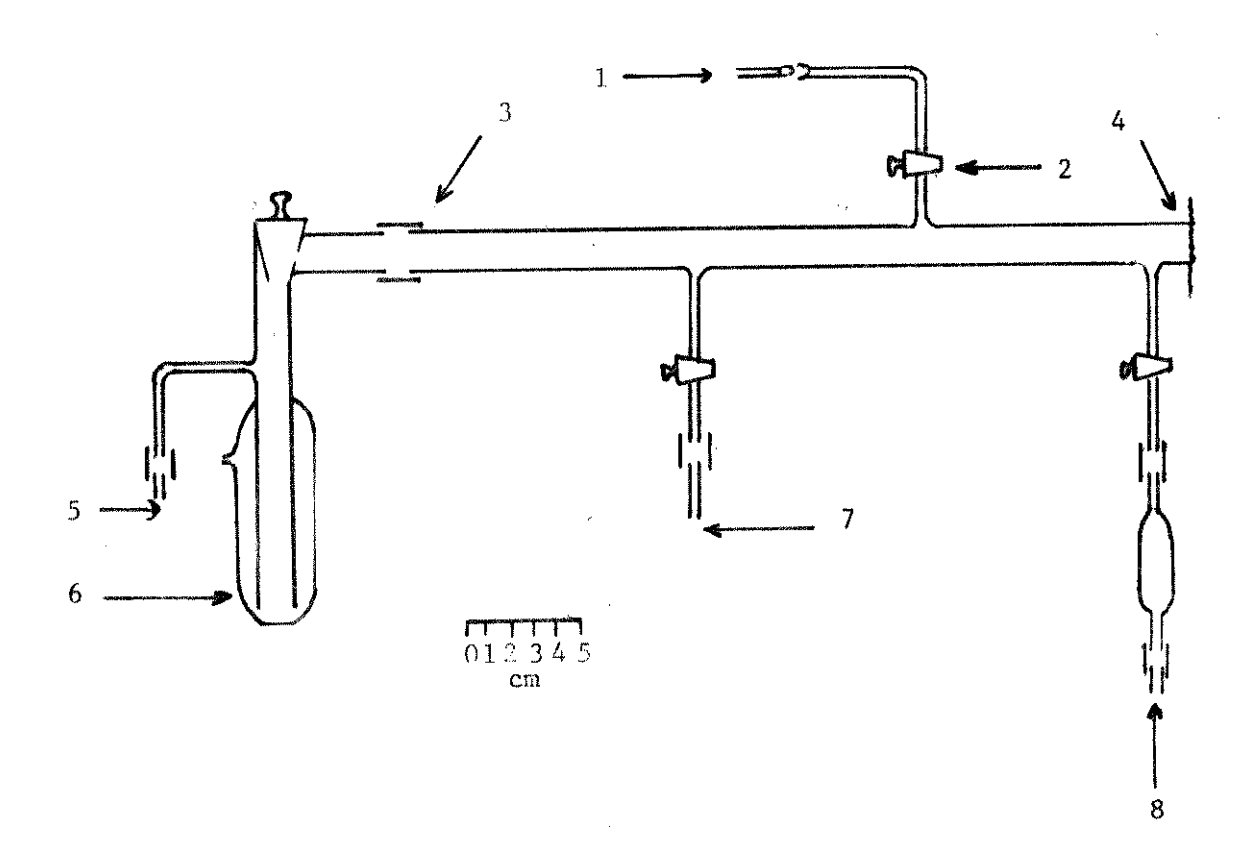


Figura 7 - Linha de Vacuo

(1) Conexão com o ebuliômetro; (2) Torneira de alto vácuo; (3) Conexão de borracha de silicone; (4) Conexão com o manômetro; (5) Conexão com a bomba de sucção a vácuo; (6) Trapp de Segurança; (7) Conexão com o balão de 200:1; (8) Tubo de secagem da linha.

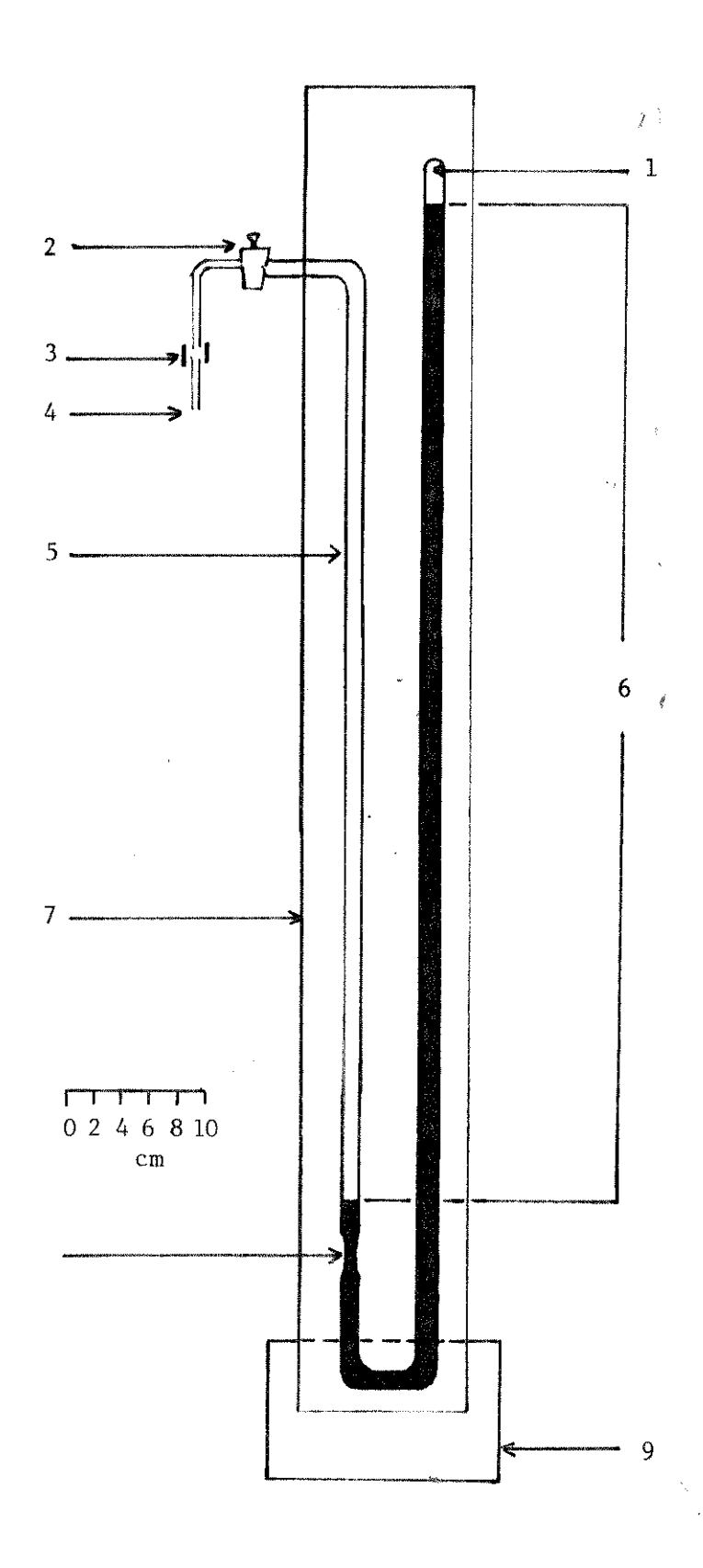


Figura 8 - Manômetro

(1) Vacuo devido ao processo de degassamento

(2) Torneira para alto vácuo; (3) Junção de borracha para alto vácuo; (4) Conexão com a linha de vácuo; (5) Tubo em U; (6) Coluna de mercúrio; (7) Suporte de madeira; (8) Estreitamento do manômetro; (9) Base de sustentação do manômetro.

possam ocorrer durante as experiências. A leitura da pressão foi efetuada por um catetômetro, modelo Gaertner, que possibilita leituras de 0,1 mmHg de precisão. Este manômetro (H), construido na vidraria do Instituto, é constituido de um tubo de vidro U, cde parede reforçada, com 0,6 cm d.i.e lcm d.e., uma torneira de alto vácuo, um suporte de madeira e mercúrio, usado como líquido interno. O tubo em U foi submetido a uma temperatura de 560°C para evitar tensões no material. Existe um estrangulamento no manômetro, mostrado na figura 8, cuja função é amortecer variações bruscas de pressão que possam coorrer durante as experiências. O mercúrio utilizado é limpo e isento de ar. Elimina-se o ar do manômetro aquecendo-se levemente o tubo com mercúrio e evacuando-o. Nos próximos itens vamos descrever o desenvolvimento e funcionamento do ebuliô metro utilizado.

3.2. Desenvolvimento do Ebuliômetro

Iniciamos nossos trabalhos procurando desenvolver um instrumento que permitisse a circulação das fases líquida - e vapor. Este tipo de aparelho contém uma bomba de Cottrell^{63,66}

dispositivo simples, que permite um bombeamento do líquido em fervura para o reservatório do termômetro. Obtem-se assim,-medidas precisas da temperatura em ebulição da mistura.

No primeiro modelo construido o sistema Cottrell era constituido por um funil invertido dentro do ebulidor, visando canalisar a mistura em fervura e bombeã-la até o reser - vatório do termômetro. Na base do ebulidor existia uma superfície de vidro ativada, que teria a função de catalizar a formação

de bolhas para a bomba de Cottrell.

Houve um funcionamento irregular da bomba e do - sistema de aquecimento. Observamos "escape" das bolhas pelas laterais do frasco de ebulição, ocasionando dificuldades na- estabilização do sistema. Observamos também, que o aquecimen to se fazia por todo o frasco de ebulição e não somente na região ativada como seria desejável. Por isso, bolhas de ar se formavam por todo o ebulidor, tanto interna como externa mente à bomba de Cottrell.

No segundo modelo, construimos uma manta que se introduzia no frasco de ebulição, e só estava em contato com as paredes externas da superfície ativada do ebulidor. Desta forma, eliminamos a formação indevida de bolhas, canalizando-as para a bomba de Cottrell, jã modificada e simplificada.

O principal problema encontrado neste instrumento foi a ocorrência de "bumps" durante as experiências, isto é, superaquecimento seguido de uma violenta ebulição da mistura líquida. Este fenômeno ocorria, principalmente, devido à mistura ra entre o líquido em fervura e o condensado resfridado quando retornavam ao ebulidor. Esta mistura se dava bem próxima ao fras co de ebulição. Isto acontecia mais frequentemente nos sistemas onde os pontos de ebulição dos componentes diferiam consideravelmente.

3.3. Descrição e Funcionamento do Ebuliômetro Desenvolvido

O instrumento finalmente desenvolvido e utilizado em nosso trabalho é mostrado na figura 9, apresentando circulação de ambas as fases, líquida e vapor. Sua operação envolve as se-

guintes etapas: ebulição da mistura líquida e medida de sua temperatura de equilíbrio; condensação do vapor; amostragem - de ambas as fases, separadamente; mistura do condensado de - vapor e do líquido no retorno ao ebulidor.

O frasco de ebulição K (capacidade de 160 ml) é aquecido por uma manta de aquecimento externaM(FIGURA 6), que está em contato com a superfície de vidro ativada, colocada - internamente com a função de homogeneizar e canalizar a forma ção de bolhas. A superfície ativada L foi preparada com uma fina camada de vidro sinterizado (20 a 60 mesh) - sendo aderida ao frasco de ebulição por um processo de "colagem" através da temperatura, o mínimo possível que evitasse fusão das pequenas partículas em agregados maiores.

A quantidade de calor necessária para o aquecimento da manta varia com a natureza do sitema químico estudado e é escolhida em função da vazão do condensado e do líquido observada nos orifícios de amostragem F e G. O frasco de ebulição utiliza uma bomba de Cottrell I (7mm de d.i.) e tem umapequena abertura I (4mm d.i.) que auxilia nas operações de limpeza e carga; este orifício é fechado com um material de silicone, circular, protejido com teflon e pressionado com uma peca circular de vidro.

A medida da temperatura de equilibrio é feita quan do a corrente do líquido em ebulição choca-se com uma espiral - de vidro aderida à "bainha" do termômetro B. A parte superior do tubo de Cotthell e a "bainha" do termômetro estão protejidos contra perdas de calor por uma "camisa" de vacuo D. O isolamento térmico do aparelho é de grande importância e as partes principais a serem protejidas são frascos de ebulição, bomba de Cottrell e "camisa" de vácuo. Primeramente isolamos com corda

de amianto de la de vidro. Após, com peças de poliuretano.

A mistura em fervura é bombeada do frasco de ebulição e choca-se com as paredes internas da "bainha" do tér nômetro separando-se em vapor e líquido descendente.O vapor flue para um condensador de agua fria C2 sendo completamente condensado. Qualquer vapor proveniente do líquido em ebulição é condensado em C1 A pressão de equilibrio do sistema é obtida através do tubo $\underline{\mathbb{E}}$ que também auxilia na carga e limpeza do aparelho. As amostras do condensado e do líquido são tiradas com uma seringa, introduzida no material de silicone até atin qir a amostra. A instrumentação analítica usada nas análises das amostras tem sido cromatografia e indice de refração.O vo lume das amostras requerido é pequeno (ao redor de 0,7 ml) e o líquido e vapor condensado, logo que passam pelos orifícios de amostragem são misturados e retornam ao frasco de ebulição, H (5mm d.i.). Quando trabalhamos com misturas através de tubo de compostos tendo grandes diferenças nos pontos de ebulição $> 170^{\circ}$ C), foi necessário a introdução, no tubo $\frac{\mathrm{H}}{\mathrm{I}}$, de uma vá $\underline{\mathrm{I}}$ vula de segurança , com a função de prevenir contaminação das amostras devido a "bumps" ocasionais, aparentemente causados por mistura de um condensado frio com um líquido em ebulição muito quente. Em A o aparelho é unido à linha de vácuo.

3.4. Medidas da Temperatura de Ebulição

As temperaturas de equilibrios foram determinadas - com termômetro de mercúrio com uma precidão de \pm 0,05 $^{\rm O}$ C. Para

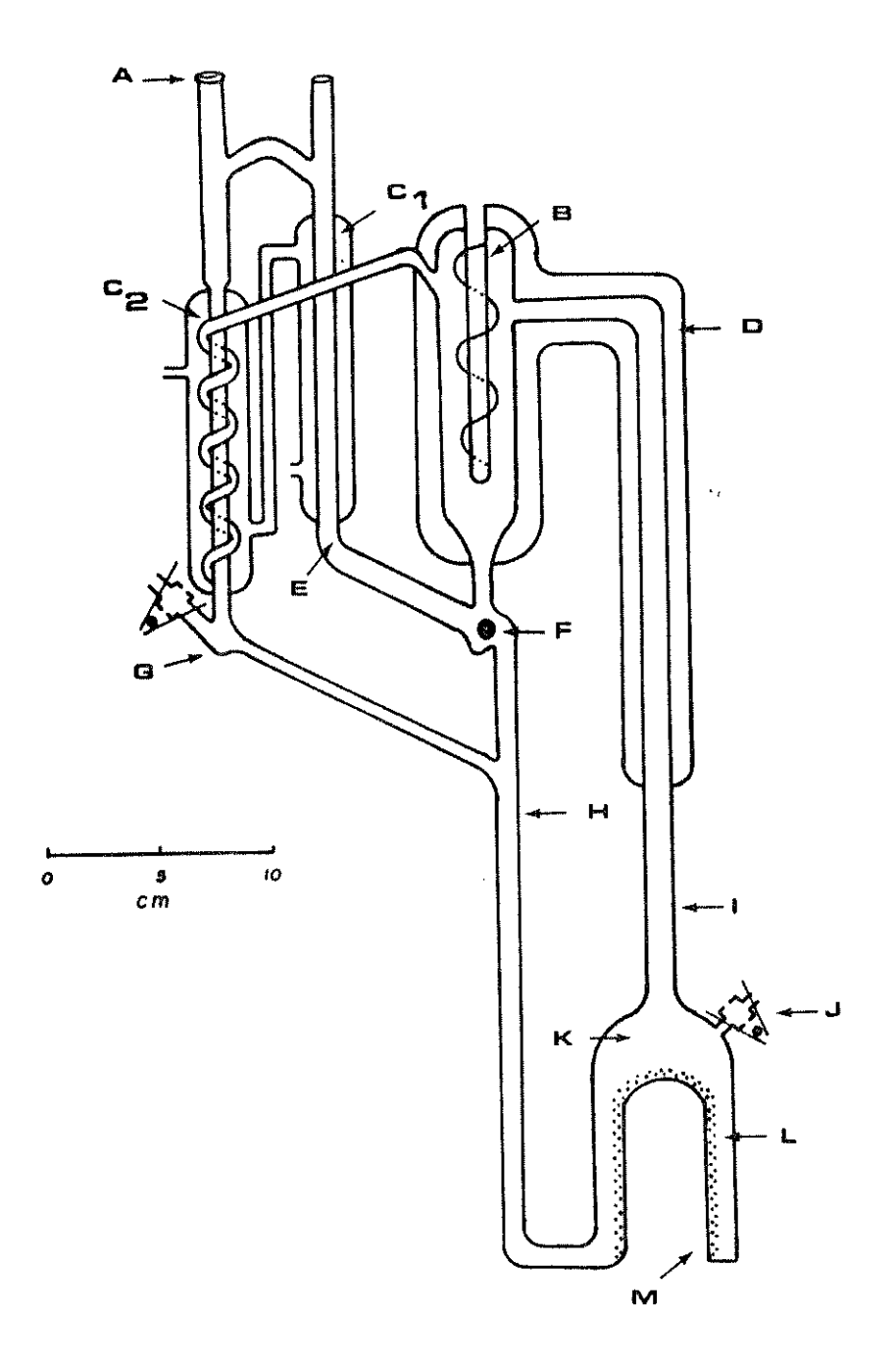


Figura 9 - O Ebuliômetro de Circulação

(A) Conexão com a linha de vácuo; (B) Bainha do termômetro; (C₁) Condensador do líquido em ebulição; (C₂) Condensador da fase de vapor; (D) Camisa de vácuo; (E) Tubo de controle da pressão do sistema; (F) Amostragem da fase líquida; (G) Amostragem da fase de vapor condensada; (H) Retorno do líquido e vapor condensado; (I) Bomba de Cottrell; (J) Introdução e retirada de amostras; (K) Frasco de ebulição; (L) Superfície ativada; (M) Local para introdução da manta de aquecimento.

a otimização do contato entre o termômetro e o líquido em circulação usamos uma solução de contato (óleo vegetal)entre bulbo do termômetro e as paredes do ebuliômetro. Foram feitas as correções devido à escala emertente ⁷⁸ e os valores experimentais foram corrigidos obedecendo a equação.

$$Tc= To+ f.l (To - Tm)$$

onde <u>Tc</u> é a temperatura corrigida para a escala emergente;

<u>To</u> a temperatura observada; <u>f</u> é o coeficiente de dilatação do vidro; <u>l</u> é a parte do termômetro que não recebe o conta to do líquido em circulação; <u>Tm</u> é a temperatura média entre <u>To</u> e <u>Ta</u> (temperatura ambiente). A seguir mostraremos um cálculo típico de correção da temperatura envolvendo o par ciclohexano-tolueno (capítulo 4).

To =
$$80,00^{\circ}$$
C; f = $0,00016$; Ta = $25,00^{\circ}$ C; 1 = $(T0 - 5) = 75,00^{\circ}$ C;

$$TM = 80.00-25,00$$

$$Tc = 80,00 + 0,00016.75,00$$
 $\begin{bmatrix} 80,00 - (80,00 - 25,00) \\ 2 \end{bmatrix}$

 $TC = 80,30^{\circ}C.$

O cálculo típico feito acima mostra uma diferenca de 0,3°C entre a temperatura observada e a temperatura corrigida. Esta correção é significativa, pois a temperatura de ebulição do sistema é uma variável importante na avaliação das pressões de vapor dos componentes puros, conforme mostram

as equações (26) e (27).

3.5. Medidas da Pressão do Sistema.

A pressão foi medida com um manômetro em U construido no laboratório e testado com um padrao (Fig.8.). Foram feitas correções da pressão devido à latitude, altitude e temperatura locais. O critério usado em todos os sistemas estudados é mostrado na tabela 81.

Para testar todo o sistema foram, preliminarmente, feitos testes, usando-se agua destilada e observando- se bom funcionamento da aparelhagem. Testes definitivos e avaliação do desempelho do aparelho foram feitos usando-se o sistema tolueno-ciclohexano.

Tabela 1. Correções para a Pressão nos Sistemas Estudados devido à Altitude, Latitude e Temperatura nas condições Locais.

· · · · · · · · · · · · · · · · · · ·
Correções da Pressão/mmHg
Substração do valor exper <u>i</u>
mental: 0,16
Adição ao valor experimen-
tal: 0,3
Cubbunga do valor ovnori-
Subtração do valor experi-
mental: 2,9

CAPÍTULO IV

O EQUILÍBRIO LÍQUIDO -VAPOR DE CICLO HEXANO- TOLUENO

A verificação do funcionamento de nosso sistema ebulioscópico de circulação foi feita estudando- se o par tolueno-ciclo hexano. Os motivos que nos devaram à escolha deste par foram: facilidade em sua purificação, dis ponibilidade em nossos laboratórios, relativamente ampla fai xa de temperatura entre os dois pontos de ebulição, facilida de de análise pelo índice de refração, dados disponíveis na literatura para comparação e curvas de equilíbrio líquido-va-por não complicadas (desvio tradicional da lei de Raoult).

4.1. Parte Experimental

O ciclo hexano e tolueno foram purificados por destilação utilizando-se uma porcentagem de 40 a 90% do material destilado. Os valores do indice de refração ($\rm w_D$) a 20°C para os compostos purificados foram 1,4969 e 1,4262 respectivamente para tolueno e ciclo hexano. As experiências foram realizadas no sistema ebulioscópico já descrito (fig.9.) com medidas isobáricas (pressão média de 713 mmHg), anotando-se a temperatura e os indices de refração dos componentes nas f fases líquidas e gasosa. As determinações de composição foram feitas através da medida do indice de refração, em banho termostatizado a 20,0°C, com uma precisão de 1.10 $^{-4}$, usando-se uma curva padrão do indice de refração versus com posição em volume (fig.10). Usou-se um refratômetro modelo Zeiss.

A quantidade de calor necessaria para que o sistema Cottrell funcionasse foi pequena (ponto nº 30 no autotransformador variavel), tendo sido necessarios aproximadamente 40 minutos para que o sistema alcançasse o equilitatio.

Quando alterava-se a composição, com o sistema em equilibrio, requeria-se somente 10 minutos para que se atin-gisse um novo equilibrio. Todos os cuidados necessários com o isolamento térmico do ebuliômetrico foram tomados, apesar da máxima temperatura trabalhada ter sido relativamente baixa (ao redor de $110,0^{\circ}$ C).

A linha de vácuo trabalhou somente à pressão normal, tendo com principal função manter o sistema livre de umidade.

4.2. Resultados e Discussão

Realizamos quatorze experiências isobáricas (pressão média de 713 mmHg) variando a composição e consequentemente a temperatura para cada experiência. As tabelas 2 e 3 mostram o conjunto dos dados experimentais obtidos no estudo destesistema. Através dos indices de refração obtivemos os volumes da fase líquida (Tabela 2) e da fase vapor condensado (Tabela 3.) utilizando a curva padrão mostradana figura 10. As condições de medida para a construção da curva padrão foram as mesmas utilizadas para a medida dos indices de refraçãonas experiências (banho termostalizado a 20°C, purifi—

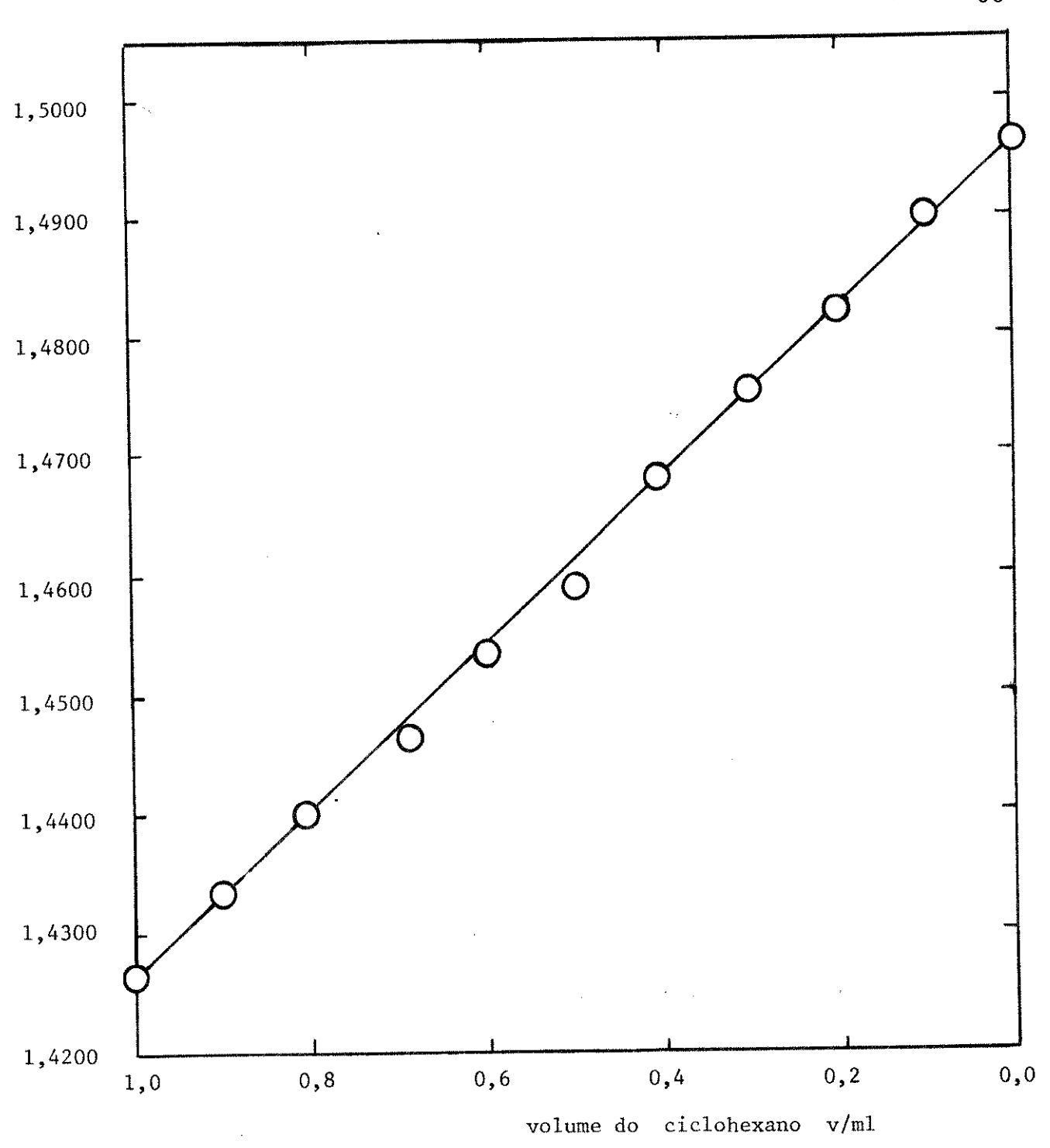


Figura 10 - Curva Padrão do Índice de Refração (µ 20°C) em Função do Volume (m1) de Ciclohexano (1).

cação dos reagentes, etc).

Com os valores dos volumes obtidos experimen - talmente, podemos calcular as frações molares do ciclo exa no (X1) e do tolueno (X2) para a fase líquida utilizando as seguintes equações:

$$ml = dl Vl (94)$$

Tabela 2- Temperaturas(T), Índices de Refração (μ) , Volume (V) e Frações Molares da Fase Líquida (xi) do Ciclohexa no (1).

T/ ^O C	20,0°C	V/ml	X1	Experiências
80,3	1,4325	0,912	0,910	1
81,8	1,4380	0,833	0,830	2
82,4	1,4402	0,803	0,800	3
83,7	1,4445	0,742	0,738	4
84,8	1,4485	0,679	0,675	5
85,9	1,4528	0,618	0,615	6
88,0	1,4592	0,529	0,525	7
90,4	1,4650	0,446	0,442	8
92,5	1,4700	0,374	0,370	9
96,0	1,4777	0,269	0,265	10
99,4	1,4837	0,178	0,175	11.
101,2	1,4869	0,132	0,130	12
103,2	1,4898	0,0913	0,0900	13
105,8	1,4935	0,0417	0,0410	14

Tabela 3- Temperaturas (T) Índice de Refração (), Volume (V) e Frações Molares da Fase Vapor Condensada - (yi) do Ciclohexano (1).

T/ ^O C	4D ²⁰ 40°C	V/ml	уl	Experiências
80,3	1,4295	0,955	0,954	1
81,8	1,4325	0,912	0,910	2
82,4	1,4337	0,895	0,893	3
83,7	1,4360	0,862	0,860	4
84,8	1,4387	0,827	0,825	5
85,9	1,4410	0,788	0,785	6
88,0	1,4450	0,730	0,727	7
90,4	1,4498	0,665	0,661	8
92,5	1,4553	0,599	0,595	9
96,0	1,4620	0,489	0,485	10
99,4	1,4709	0,364	0,360	11
101,2	1,4792	0,243	0,290	12
103,5	1,4810	0,218	0,215	13
105,8	1,4885	0,109	0,107	14

е

m2 = d2 V2

sendo ml e m2 as massas, em gramas, obtidas dos volumes V1 e V2, em ml, para o ciclohexano e tolueno respectivamen te (para a curva padrão mostrada na Figura 10 V1+V2=1 ml). As grandezas dl e d2 são as densidades do CiclHexano e Tolu eno respectivamente, e valem 82 dl 20 CC o 0,7789g/cm 3. d2 = 0,8669g/cm 3. A seguir, calcula-se o número de moles,

$$nl = ml/Ml (96)$$

е

$$n2 = m2/M2 \tag{97}$$

sendo nl e n2 o número de moles do ciclohexano e do tolueno; M1 e M2 as massas molares. Por último, calculamos as fra ções molares.

$$x2 = 1-x1 \tag{99}$$

Para as frações molares do ciclo hexano e tolueno na fase do vapor condensado (yl e y2) as equações são as mesmas porém, são outros os valores para o volume, para as massas, para o número de moles e para as frações molares.

A figura 11 mostra o comportamento do sistema estudado. Este sistema não forma um azeotrópico, porém, a curva não apresenta uma perfeita simetria em toda a sua extensão, ocorrendo a tendência à formação de um azeotrópico na região onde xl->1. Os pontos de ebulição dos componentes, a 713 mmHg, são de 78,6 e 108,4 °C para o ciclo hexano e tolueno respectivamente e formam os pontos geradores da curva. O cálculo destes valores foi feito usando-se a equação de Antoine; Os outros pontos foram encontrados experimentalmente. A equação de Antoine, pode ser escrista como:

$$t_{1} = \frac{B}{A-10g P} -C \qquad (100)$$

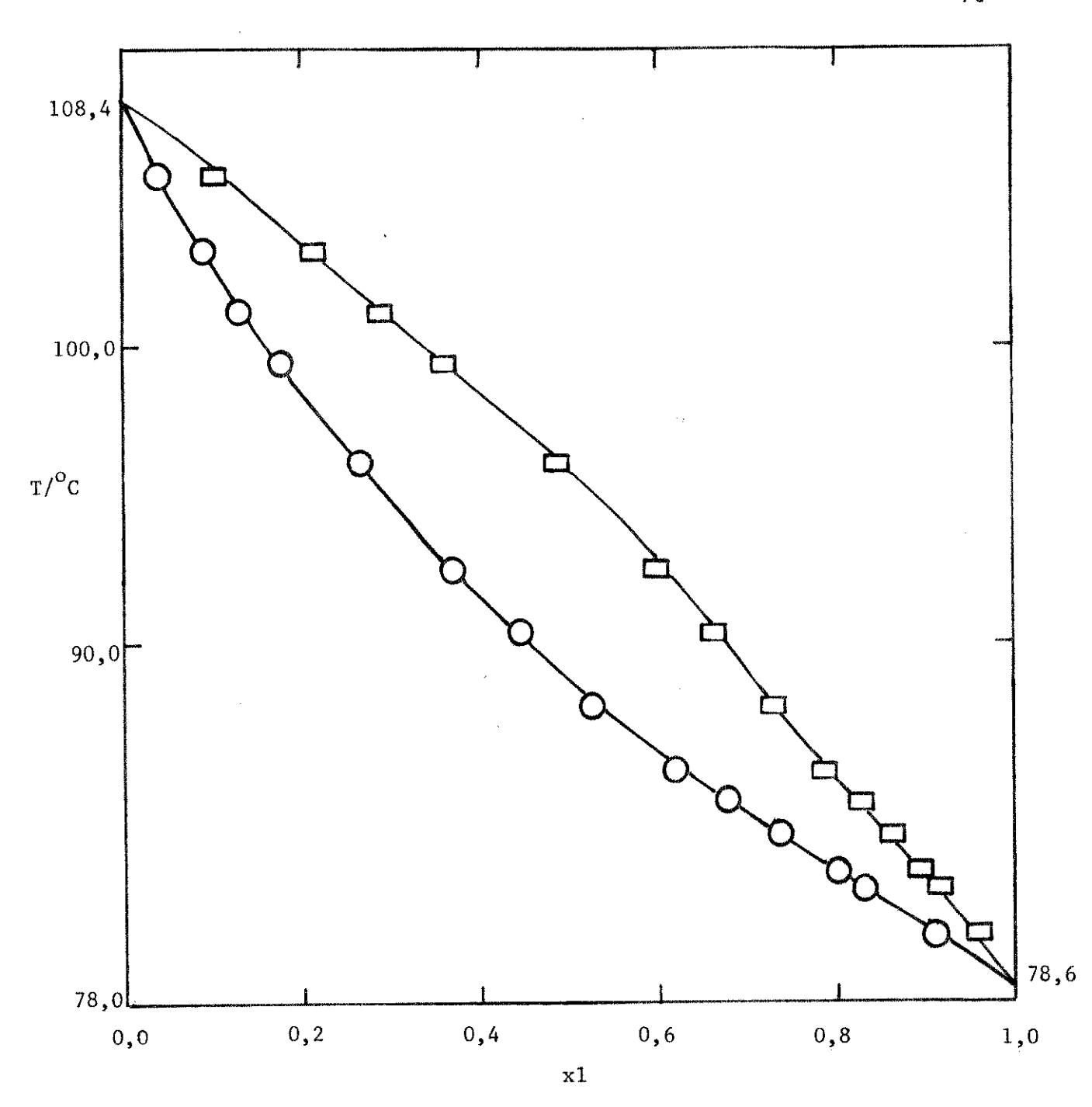


Figura 11 - Curva de Equilíbrio Líquido-Vapor Isobárica do Sistema Ciclohexano (1) - Tolueno (2).

.

sendo ti a temperatura do componente puro i à pressão do sistema; A,B,C são as constantes e valem⁷ 6,84941;1206,001 e 223,148 respectivamente para o ciclo hexano e 6,95805; 1346,773 e 219,693 respectivamente para o tolueno.

Os valores de densidade (D1 e D2) (tabela 4) , são calculados usando-se as seguintes equações 83 :

tolueno dt =
$$\left[0,88412 + 10^{-3}(-0,92248) \pm 10^{-6}(0,0152) \pm^{2} \pm 10^{-9}(-4,223) \pm^{3}(101);\right]$$

ciclohexanodt= $\left[0,79707\pm 10^{-3}(-0,8879) \pm 10^{-6}(-0,972) \pm^{2} \pm 10^{-9}(1,55) \pm^{3}\right]$ (102)

Este conjunto de valores permite o cálculo de volume molar (Vl^Le V2^L) e são usados para o cálculo de coeficiente de atividade. Os valores de pressão de vapor dos componentes puros (Pl^Oe P2^O) (tabela 4) são calculados pela equação de Antoine⁷ conforme mostrado na discussão da figura 11.

A tabela 5 mostra os coeficientes de atividade ob tidos experimentalmente. As equações (56) e (57) relacionam os da
dos experimentais e os parâmetros dos componentes do sistema ao
coeficiente de atividade. Estes parâmetros são calculados pelas
equações (58) (59)...(65). O programa ACTCOE (apêndice 1) contém
todas as equações usadas para o cálculo dos coeficientes de ati vidade. O apêndice 2 contém um cálculo típico para este sistema.

A tabela 6 relaciona dados de fração molar e o loga ritmo da razão das frações molares usados na construção da figura 12. A análise desta figura permite-nos obter importantes conclusões a respeito da consistência termodinâmica 10 deste sistema. As equa - ções utilizadas nos cálculos foram:



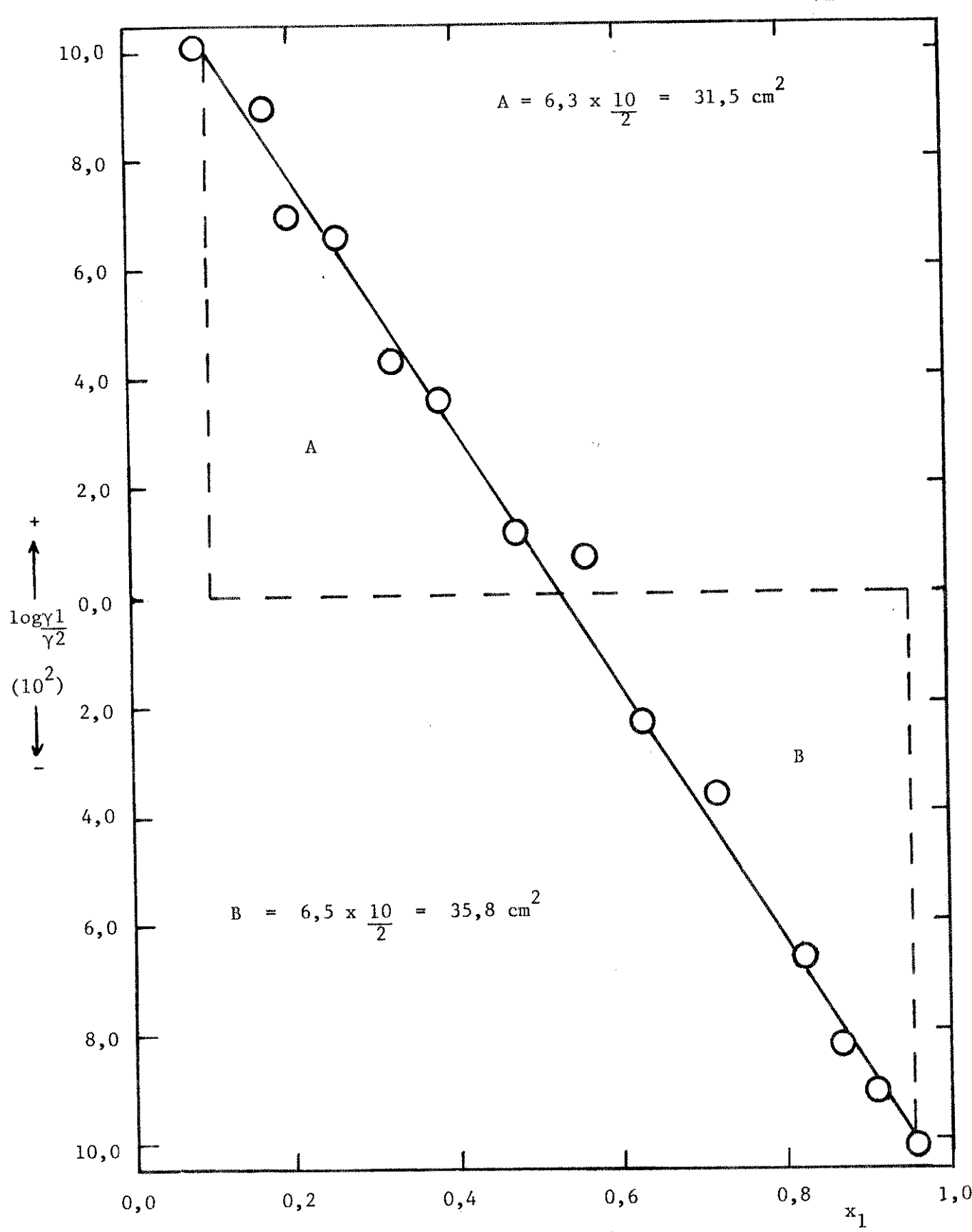


Figura 12 - Consistência Termodinâmica dos Dados Experimentais.

Tabela 4- Temperatura (T), Densidades(D), Pressões de Vapor (P^O) do Ciclohexano (1) e Tolueno (2).

T/OG	Dl/g.cm ⁻³	D2/g.cm ⁻³	Pl ^O /atm.	P2 ^O /atm.
T\ C	DI/9.Cm	22/9.0	1 1 / 0 0 11 1	,
80,3	0,7203	0,8080	0,9868	0,3871
81,8	0,7188	0,8065	1,032	0,4076
82,4	0,7182	0,8058	1,051	0,4161
83,7	0,7169	0,8045	1,092	0,4347
84,8	0,7157	0,8034	1,128	0,4511
85,9	0,7146	0,8023	1,165	0,4679
88,0	0,7125	0,8002	1,238	0,5014
90,4	0,7100	0,7977	1,325	0,5421
92,5	0,7078	0,7956	1,405	0,5799
96,0	0,7042	0,7920	1,549	0,6474
99,4	0,7007	0,7884	1,697	0,7188
101,2	0,6989	0,7865	1,780	0,7591
103,2	0,6968	0,7844	1,876	0,8059
105,8	0,6941	0,7817	2,007	0,8701

$$\int_0^1 \log \gamma 1/\gamma 2 \, dx 1 = I, \qquad (103)$$

sendo a integral acima a soma das areas A e B mostradas na figura 14;

$$\Sigma = /A/ + /B/, \tag{104}$$

sendo Σ a soma dos valores absolutos das āreas;

$$D = 100. /I/$$
 (105)

Tabela 5- Frações Molares (xi) do Ciclohexano(1), Coeficientes de Atividade (γ_i) do Ciclohexano (1) e do Tolueno (2).

xl	. γ1	γ2
0,910	0,9964	1,255
0,830	0,9970	1,224
0,800	1,000	1,173
0,738	1,001	1,163
0,675	1,017	1,123
0,615	1,030	1,118
0,525	1,051	1,079
0,442	1,069	1,045
0,370	1,086	1,029
0,265	1,109	1,021
0,175	1,167	1,002
0,130	1,210	1,000
0,090	1,233	0,9983
0,041	1,264	1,000

sendo D um desvio relativo entre o valor encontrado na relação (103) e (104), multiplicado por um fator 100;

$$\theta = t2^{713} - t1^{713},$$
 (106)

sendo θ a diferença entre as temperaturas de ebulição em ${}^{O}C$ dos componentes puros do sistema a bressão do sistema;

$$J = \frac{150.0}{\text{Tmin.}}; \qquad (107)$$

Tabela 6- Frações Molares (xi) do Ciclohexano (1) e logaritimo da Razão entre os Coeficientes de Atividade (γi) do Ciclohexano (1) e Tolueno (2)

v1	logγ1/γ2 (10 ²)
X1	109/1//2 (10 /
0,910	- 10,02
0,830	- 8,92
0,800	- 6,92 .,
0,738	- 6,25
0,675	- 4,28
0,615	- 3,57
0,525	- 1,14
0,440	- 0,969
0,370	2,34
0,265	3,61
0,175	6,63
0,130	8,27
0,090	9,19
0,041	10,15

sendo J um desvio relativo entre o valor encontrado na relação (106) e Tmin. em K (valor de Tl 713) multiplicado por um fator 150. Para que os dados sejam consistentes termodinamicamente é necessário que D seja menor que J(D< J). Nos cálculos obtivemos: I= -4,3 cm 2 ; Σ = 110,0 cm 2 ; D= 6,4; tl 713 = 78,6 °C; t2 713 = 108,4; Θ = 29,8 °C; J = 12,7. Como D<J os dados deste sistema são termodinamicamente consistentes.

A figura 13 mostra os coeficientes de ativida de determinados com a presente instrumentação e compara - dos com os valores encontrados na literatura 84. A incerteza destes valores não foi mostrada mas é possível concluir que a concordância é muito boa na faixa inteira de concentração.O sistema apresenta um desvio positivo da lei de Raoult, pois os coeficientes de atividade variam tanto para o ciclohexano como para o tolueno na faixa de l a 1,3 aproximadamente.

A tabela 7 mostra os valores de energia livre molar de excesso de Gibbs como função da fração molar do ciclohexano: calculados usando a equação 68. Uma vizualização da disposição gráfica dos pontos pode ser vista na figura 14 que mostra um máximo ao redor da fração molar 0,5 e valores mínimos próximos as frações molares 0 e 1. Isto reflete a quase inexistência de desvio da idealidade quando a concentração de um dos componentes é bem mais alta do que a do outro.

A tabela 8 mostra a precisão da equação de Wilson para representar os coeficientes de atividade conforme as equações (91) e (92). Os parâmetros da equação de Wilson (Al2 e A21) foram calculados usando-se um programa geral multiparamétrico de ajuste de curvas ⁵⁴. Os apêndices 3, 4 e 5 mostram uma listagem deste programa e cálculos típicos dos parâmetros de Wilson (Al2 e A21) calculados a partir de γ1 e de γ2 respectivamente. Como são dois conjuntos de valores para os parâmetros de Wilson, - conforme evidenciam as equações (91) e (92), utilizamos a média destes valores no programa de cálculo dos coeficientes de atividade. Uma listagem e um cálculo típico deste programa, encontram

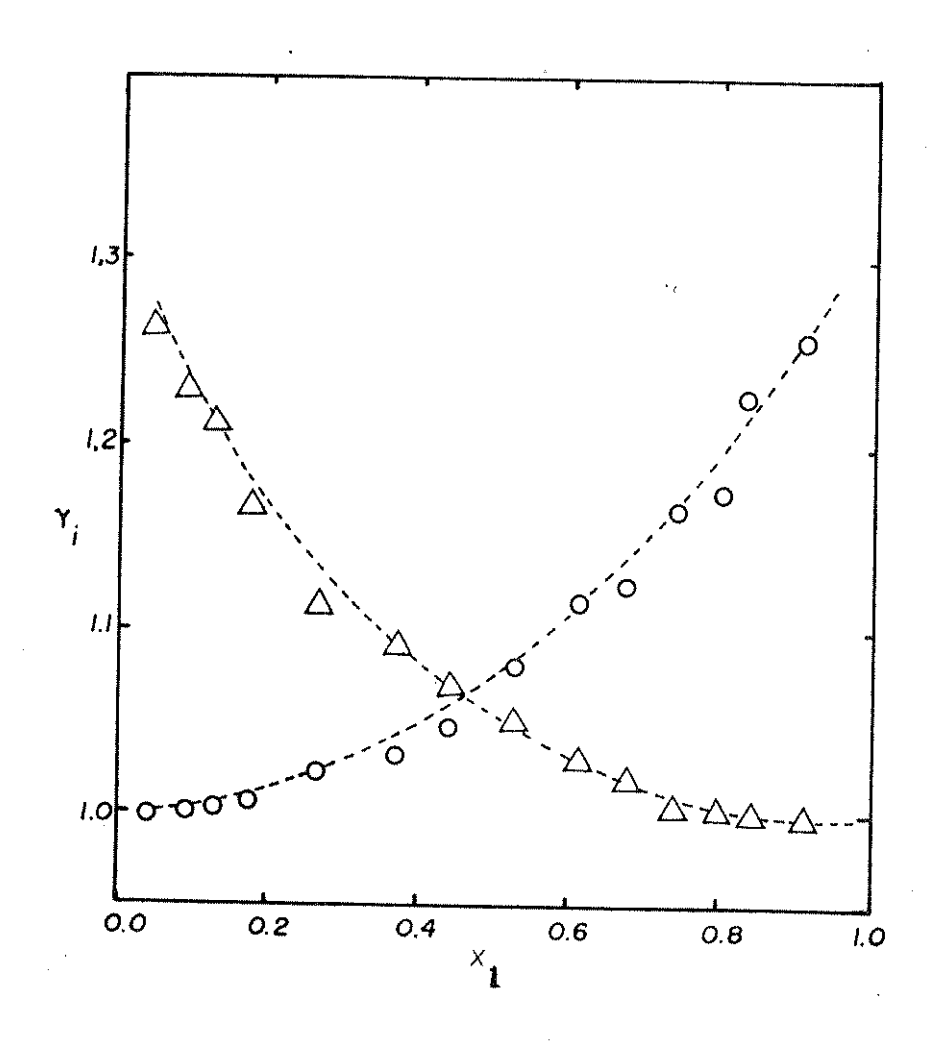


Figura 13 - Coeficientes de Atividade (γi) do Ciclohexano (Δ) e do Tolueno (0) como Função da Fração Molar do Ciclohexano na Fase Líquida (x1). As linhas seccionadas representam valores da literatura 83.

Tabela 7- Frações Molares (xi) do Ciclohexano (1) e Ener - gia Livre Molar de Excesso de Gibbs (G^{E})

g ^E /Kj-MOL ⁻¹
0,0504
0,0943
0,0965
0,120
0,148
0,183
0,187
0,165
0,150
0,132
0,0905
0,0784
0,0544
0,0332

se nos apêndices 6 e 7 respectivamente.

A Tabela 9 mostra os desvios percentuais de γ1 e γ2 o o desvio percentual médio entre γ1 e γ2 . O cálculo do des vio percentual foi feito tomando-se a razão entre o valor médio de γ experimental-γ calculado e a média do valor de γ experimental. Os valores encontrados foram de boa precisão para γ1 (0,64%) e impreciso para γ2 (14,5%). Parece razoável supor que o modelo teorico de Wilson 38 não representa satisfatoriamente sistemas cujos componentes apresentam caragterísticas estruturais, funcionais,

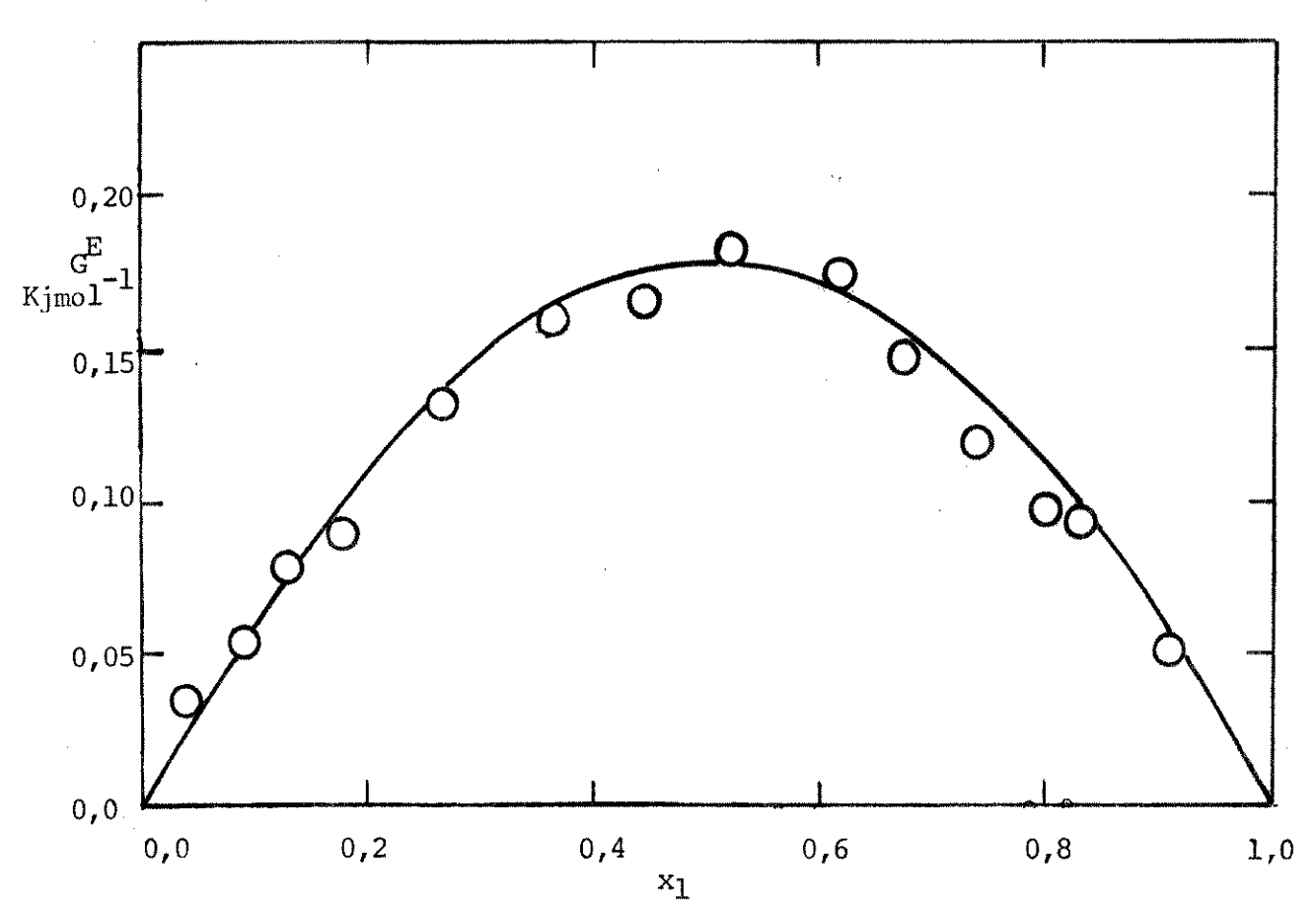


Figura 14 - Visualização Gráfica dos Dados Referentes à Tabela 7.

Energia Livre Molar de Excesso de Gibbs (G^E) em Função da Fração Molar do Ciclohexano na Fase Líquida (1).

etc.. muitos próximas, tais como os componentes deste sistema. Conforme mostra o relatório final do projeto UNICAMP-CODETEC Nº TA 011/78, o modelo de Wilson³⁸ foi bem preciso em todos os sistemas estudados, cujos componentes diferiam em suas propriedades gerais. Provavelmente os modelos de -Van Laar²⁷, Margules ³², etc.. representam mais satisfatoriamente sistemas desta natureza. O desvio percentual médio entre γ1 e γ2 foi de 7,5%, resultado considerado satisfatório para fins industriais, pois o cálculos de coeficientes de atividade com este percentual de desvio, provavelmene - não altera consideravelmente cálculos de engenharia para columas de destilação.

Tabela 8 - Coeficientes da Atividade (γ i) do Ciclohexano (1) e do Tolueno (2), Experimentais e Calculados.

Diferença entfe os Coeficientes de Atividade (γi)

Experimentais e Calculados.

		γl			γ2	
			Diferença			Diferença
хl	Experimental	Calculado	(Exp -Calc.)	Experimental	Calculado	(Exp - Calc.
0,900	0,996	1,002	-0,006	1,255	1,633	-0,378
0,830	0,997	1,006	-0,009	1,224	1,534	-0,310
0,800	1,000	1,008	-0,008	1,173	1,500	-0,327
0,738	1,001	1,014	-0,014	1,163	1,432	-0,269
0,675	1,017	1,023	-0,006	1,123	1,368	-0,245
0,615	1,030	1,032	-0,002	1,118	1,311	-0,193
0,525	1,051	1,051	0	1,079	1,236	-0,157
0,440	1,069	1,072	-0,003	1,045	1,172	-0,127
0,370	1,086	1,094	-0,008	1,029	1,127	-0,098
0,265	1,109	1,134	-0,025	1,021	1,070	-0,049
0,175	1,168	1,176	-0,008	1,002	1,033	-0,031
0,130	1,210	1,200	-0,010	1,000	1,0188	-0,019
0,090	1,223	1,223	0,010	0,998	1,009	-0,011
0,041	1,264	1,255	-0,009	1,000	1,002	-0,002

Tabela - 9 - Desvio Percentual dos Coeficientes de Atividade (γ i) do Cicclohexano (1) e do Tolueno (2). Desvio Percentual médio entre o Coeficiente de Atividade do Ciclohexano (γ 1) e do Tolueno (γ 2).

	Valor Médio (y Expcalc.)	Média des Valores de «experimentais	Desvio Percontual dos Valores de γ	besvio Percentual Médio de γ
⁷ 1	0,007	1,087	0,64%	7,5%
-7	0,178	1,097	14,5	

CAPÍTULO V

ESTUDO DE SISTEMAS ENVOLVENDO ETANOLAMINAS E ÁGUA

Informações termodinâmicas a cerca de equilibrios líquido-vapor envolvendo água e etanolaminas são necessárias no planejamento e otimização de importantes processos industriais. Este conhecimento é também usual nas investigações de alguns fenômenos tais como conversão térmica das etanolaminas ou suas reações de complexão com metais.

Investigações físico-químicas envolvendo soluções aquosas de etanolaminas são escassas e algumas vezes contraditórias na literatura. Tem sido formulado⁸⁵ que o sistema dietanolamina - água obedece a lei de Raoult. Contudo, existem estudos indicando desvio do comportamento ideal para este sistema.

O propósito do presente estudo foi determinar os coeficientes de atividade, a energia livre molar de excesso de Gibbs dos sistemas formados por água e etamolaminas. A maioria dos dados obtidos neste estudo estão contidos no relatório final do projeto UNICAMP -CODETEL NOTA 011/78.

5.1. Parte Experimental

As etanolaminas foram purificadas por destilação sob pressão reduzida. Os pontos de fusão dos compostos puros foram 10,4; 27,8 e 20,4 C respectivamente para manoe

tanolaminas, dietanolaminas e trietanolaminas.

As experiências foram realizadas no aparelho de talhadamente descrito no Capítulo 3. A análise das amostras foram realizadas com medidas de indice de refração, exceto para o par dietnolamina-trietanolamina cuja análise foi cromatográfica (cromatográfica). A análise deste par atra vés do indice de refração acarretaria resultados imprecisos pela proximidade entre os indices dos componentes puros.

Medidas isobáricas de equilibrio líquido-vapor - foram obtidos para seis pares binários formados por água e as três etanolaminas. As pressões escolhidas para a obtenção dos dados para cada par binário foram variáveis devido à con veniências experimentais e foram ao redor de 90mmHg.

5.2. Resultados e Discussão

Os coeficientes de atividade foram calculades de dados experimentais de acordo com procedimentos fornecidos em capítulos anteriores e mostrado na literatura 22 , e foram utilizados para propósitos específicos 83 . Os Valores de energia livre de excesso molar de Gibbs, G^E , foram obtidos pela equa $_{7}$ ção (68), especificada para dois componentes.

As figuras 15 e 16 mostram o comportamento de G^E como função da composição e indicam o desvio negativo da idealidade para todos os sistemas estudados. O desvio da idealidade é duas vezes maior para as soluções aquosas-fig. 15. Os valores de G^E foram ajustados à equação (86), com o auxílio de ajustes de curvas 54. Os desvios padrões entre os valores

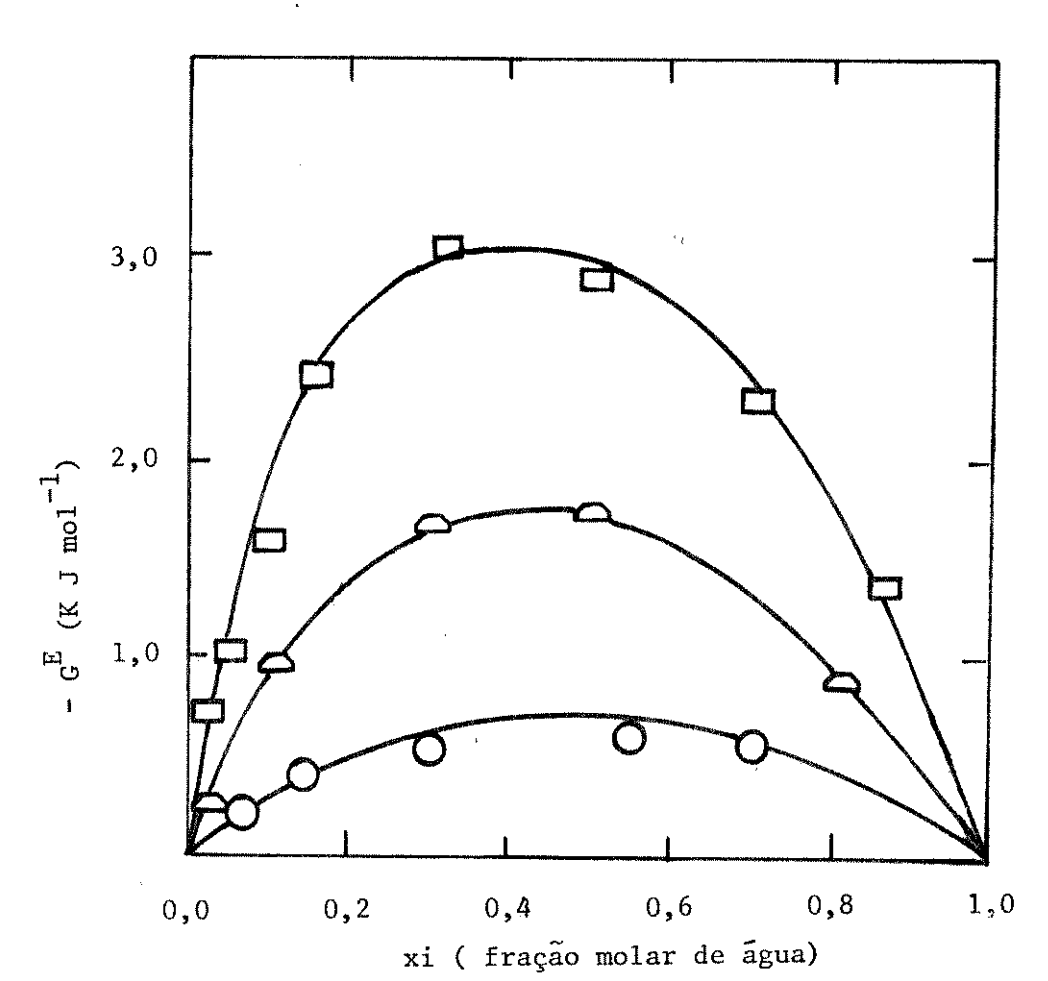


Figura 15 - Energia Livre de Excesso Molar de Gibbs dos sistemas água-monoetano lamina (()), água-dietanolamina (()).

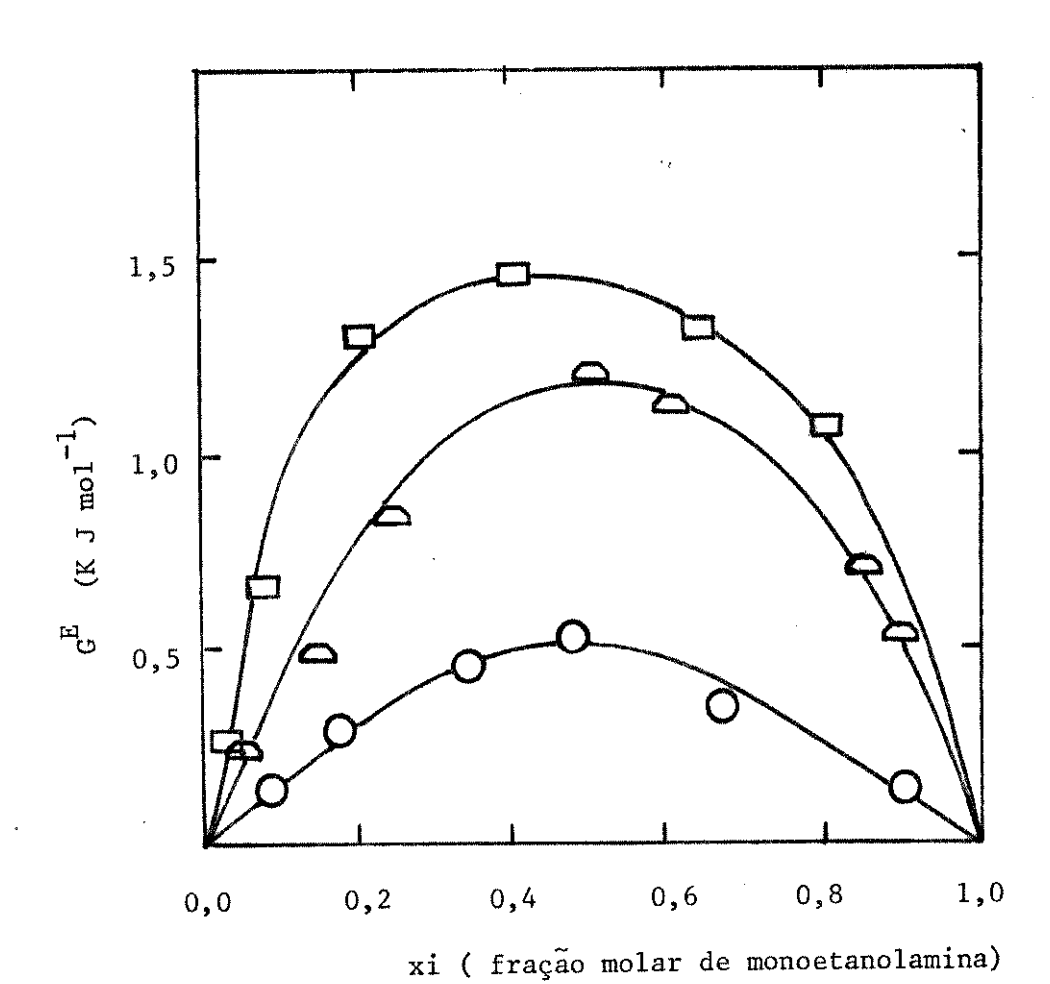


Figura 16 - Energia livre de excesso molar de Gibbs dos sistemas monoetanolamina-dietanolamina(), monoetanolamina-trietanolamina () e dietanolamina-trietanolamina

calculados pela eq. (86) e os valores experimentais foram de 5%, exceto para os pares dietanolamina -água e trietan nolamina-água aonde desvios levemente superiores foram - observados. Este fato pode ser explicado pela grande diferença entre os pontos de ebulição e solubilidade dos com postos destes pares, acarretando, também frandes dificuldades experimentais no estudo destes dois sistemas.

O termo energia (λ ij - λ ii) da equação (88) está proximamente relacionado à diferença na energia - coesiva entre o par i - j e o par i - i. Este termo pode ser considerado independente da temperatura, em uma modes ta faixa de variação.

Os parâmetros λ ij e λ ii são negativos porque na fase liquida a energia potencial é sempre menor do que aquela na fase gasosa, cuja energia potencial é zero. Os valores destes paramêtros podem ser interpretados em termos das magnitudes relativos das energias de interação en tre os vários pares de moléculas.

Um diagrama representando estas magnitudes relativas são mostradas na figura 17. Podemos concluir que as interações entre as moléculas de água são as mais fortes destes sistemas, enquanto que a energia coesiva entre a trietanolamina é a mais fraca. Também as energias intemoleculares nas soluções aquosas de etanolaminas ($\lambda 12, \lambda 13, \lambda 14$,) são mais fortes do que aquelas encontradas para soluções binárias incluindo somente etanolaminas ($\lambda 23, \lambda 24, \lambda 34$). Este fato pode ser explicado pela formação de pontes de hidrogênio entre a água e moléculas de etanolamina. A precisão

```
- λ44 trietanolamina - trietanolamina

- λ34 dietanolamina - trietanolamina

- λ33 dietanolamina - dietanolamina

- λ24 monoetanolamina - trietanolamina

- λ23 monoetanolamina - dietanolamina

- λ22 monoetanolamina - monoetanolamina

- λ14 agua - trietanolamina

- λ14 agua - monoetanolamina

- λ13 agua - dietanolamina

- λ13 agua - dietanolamina
```

Figura 17 - Magnitudes Relativas das Energias de Interação entre os vários Pares de Moléculas.

dos dados não assegura uma coclução definitiva a cerca das magnitudes das energias de interação nas soluções das diferentes etanolaminas. Contudo, a ordem dada na figura 17 parece ser razoável.

BIBLIOGRAFIA

- 1. GUGGENHEIM, E.A. Thermodynamics, An advanced treatment

 for chemists and physicists. Amsterdam, North-Holland

 1950. p. 72-74.
- 2. PERRY, R.H. & CHILTON, C.H. Chemical engineer hand-book.

 London, McGraw-Hill Kogakusha, 1973. p. 4-48.
- 3. LEWIS, G.N. & RANDALL, M. Thermodynamics. New York, McGraw-Hill, 1923. p. 222.
- 4. GUGGENHEIM, E.A. Thermodynamics, An advanced treatment for chemists and physicists. Amsterdam, North-Holland 1950. p. 240.
- 5. RAOULT, F.M. C.R., 1886, 103, 1125.
- 6. RAOULT, F.M. Z. Phys. Chem. 1888, 2, 353.
- 7. BOUBLICK, T.; FRIED, V.; HÁLA, E. <u>The vapour pressures</u> of pure substances. Amsterdam, Elsevier, 1973.
- 8. STEINER, Luke E. <u>Introduction to chemical thermodynamics</u>.

 New York, McGraw-Hill, 1948. p. 364-368.
- 9. LEWIS, G.N. & RANDALL, Merle. Thermodynamics and the free energy of chemical substances. New York, MacGraw-Hill, 1961.
- 10. HÁLA, E. et.al. <u>Vapour-liquid equilibrium</u>. London, Pergamon, 1967.
- 11. PERRY, R.H. & CHILTON, C.H. Chemical engineer hand-book.

 London, McGraw-Hill Kogakusha, 1973. p. 4-64.

- 12. PRAUSNITZ, J.M. et.al. <u>Computer calculation for multi-component vapour-liquid equilibria</u>. Englewood Cliffs, Prentice Hall Inc., 1967.
- 13. PERRY, R.H. & CHILTON, C.H. Chemical engineer hand-book.

 London, McGraw-Hill Kogakusha, 1973. p. 4-58,4-60,4-61.
- 14. REDLICH, O. & KNOWNG, J.N.S. Chem. Rev., 1949, 44, 233.
- 15. BEATTIE, J.A. Chem. Rev., 1949, 44, 141
- 16. PITZER, K.S. et.al. J. Amer. Chem. Soc., 1955, 77, 3427
- 17. PITZER, K.S. et.al. J. Amer. Chem. Soc., 1957, 79, 2369.
- 18. GUGGENHEIM, E.A. Mixtures. London, Oxford, 1952
- 19. HILDEBRAND, J.H. & SCOTT, R.L. Regular solutions.

 Englewood Cliffs, Prentice-Hall Inc., 1962.
- 20. HILDEBRAND, J.H. & SCOTT, R.L. The solubility of

 nonelectrolyts. Englewood Cliffs, Prentice-Hall Inc.,

 1962.
- 21. ROWLINSON, J.S. <u>Liquids and liquids mixtures</u>. London, Butterworths, 1959.
- 22. BOUBLIK, T & BENSON, G.C. Can. J. Chem., 1969, 47, 539
- 23. BARKER, J.A. Aust. J. Chem., 1953, 6, 207.
- 24. REID, R.C. & SHERWOOD, T.K. The properties of gases and liquids. New York, McGraw-Hill, 1966.
- 25. PERRY, R.H. & CHILTON, C.H. Chemical engineer hand-book.
 London, McGraw-Hill Kogakusha, 1973. p. 4-53, 4-54.
- 26. SCATCHARD, G. Trans. Faraday Soc., 1937, 33, 160.
- 27. VAN LAAR, J.J. Z. Phys. Chem., 1913, 83, 599.

- 28. WOHL, K. Trans. Amer. Inst. Chem. Eng., 1946, 42, 215.
- 29. BLACK, C. <u>Ind. Eng. Chem.</u>, 1958, <u>50</u>, 403; 1959, <u>51</u>,211.
- 30. BLACK, C.; DERR, E.L. PAPADOPOULOS, M.N. <u>Ibid</u>, 1963, 55, 43.
- 31. VAN LAAR, J.J. Z. Phys. Chem. 1910, 72, 723.
- 32. MARGULES, M. Sitzber. Akad. Wiss. Wien, Math. Naturn. Klasse, 1895, 104, 1243.
- 33. SCATCHARD, G. & HAMER, W.J. <u>J. Amer. Chem. Soc.</u>, 1935, 57, 1805.
- 34. BENEDICT, M. et.al. <u>Trans. Amer. Inst. Chem. Eng.</u>, 1945 41, 371.
- 35. SCATCHARD, G. J. Amer. Chem. Soc., 1952, 74, 3723.
- 36. HOUGEN, O.A.; WATSON, K.M.; RAGATZ, R.A. Chemical process principles. New York, Wiley & Sons, 1959.
- 37. CARLSON, H.C. & COLBURN, A.P. <u>Ind. Eng. Chem.</u>, 1942, <u>34</u> 581.
- 38. WILSON, G.M. <u>J. Amer. Chem. Soc</u>., 1964, <u>86</u>, 127.
- 39. ORYE , R.V. & PRAUSNITZ, J.M. <u>Ind. Eng. Chem.</u>, 1965, <u>57</u>
- 40. SCHEREIBER, L.B. & ECKERT, C.A. <u>Ind. Eng. Chem, Process</u>

 Des. Dev., 1971, <u>10</u>, 572.
- 41. FLORY, P.J. <u>J. Chem. Phys.</u>, 1942, <u>10</u>, 51
- 42. HUGGINS, M.L. Ann. N. Y. Acad. Sci., 1942, 43, 1
- 43. WEHE, A.H. & COATES, J. Amer. Inst. Chem. Engrs. Journal, 1955, 1, 241.

- 44. BROWN, J. & SMITH, F. <u>Australian Journal of Applied</u>
 Research, 1956, 9, 364.
- 45. OTHMER, D.F. et.al. Ind. Eng. Chem., 1952, 44, 1872.
- 46. SILVERMAN, N. & TASSIOS, D. <u>Ind. Eng. Chem., Process</u>

 Des. Dev., 1971, <u>16</u>, 13.
- 47. MIRANUMA, M. J. Chem. Eng. Jap., 1976, 9, 418.
- 48. HIRANUMA, M. & HOUMA, K. <u>Ind. Eng. Chem., Process Des.</u>
 Dev., 1975, 14, 304.
- 49. GHOSH, S.K. & CHOPRA, S.J. <u>Ind. Eng. Chem., Process Des.</u>
 Dev., 1975, <u>14</u>, 304.
- 50. MIYAHARA, К.; SADATORNO, Н.; KITAMUNA, К. <u>J. Chem. Eng.</u> Jap., 1970, <u>3</u>, 157.
- 51. HIRANUMA, M. J. Chem. Eng. Jap., 1975, 8, 162.
- 52. HANSON, D.N.; DUFFIN, J.H.; SOMERVILLE, G.F. Computation

 of multistage separation processes. New York,

 Reinhold, 1962.
- 53. HOLLAND, C.D. <u>Multicomponent distillation</u>. Englewood Cliffs, Prentice-Hall Inc., 1963.
- 54. MEITES, L. The general multicomponent curve-fitting

 program CFT4. New York, Computing Laboratory, Department

 of Chemistry. Clarkson College of Technology, 1976.
- 55. ALTSHELER, W.B.; UNGER, E.D.; KOLACHOV, P. <u>Ind. Eng.</u> Chem., 1951, <u>43</u>, 2559.
- Design and Development, 1963, 2, 282.
- 57. YORK, R.& HOLMES, R.C. <u>Ind. Eng. Chem.</u>, 1942, <u>34</u>, 345

- 58. ERDÖS, E. & POUCHLY, J. Chem. Listy., 1952, 46, 321.
- 59. JAMAGUCHI, T. Tokyo Chem. Soc., 1913, 34, 691.
- 60. SAMESHIMA, J. J. Amer. Chem. Soc., 1918, 40, 1482.
- 61. OTHMER, D.F. Ind. Eng. Chem., 1928, 20, 745.
- 62. JONES, C.A.; SCHOENBORN, E.M.; COLBURN, A.P. <u>Ind. Eng.</u> Chem., 1943, 35, 666.
- 63. ELLIS, L.M. <u>Ind. Eng. Chem., Anal. Ed.</u>, 1932, 4, 318
- 64. FENSKE, M.R.; CARLSON, C.S.; QUIGGLE, D. Ind. Eng. Chem., 1947, 39, 1322.
- 65. LACHER, J.R. & HUNT, E.R. <u>J. Amer. Chem. Soc.</u>, 1941, <u>63</u>, 1752.
- 66. ROGERS, J.W.; KNIGHT, J.W.; CHOPPIN, A.R. <u>J. Chem. Educ.</u>, 1947, 24, 491.
- 67. GILLESPIE, D.T.C. Ind. Eng. Chem., Anal. Ed., 1946, 575.
- 68. FOWLER, R.T. Ind. Chem. Mfr., 1948, 717, 824.
- 69. FOWLER, R.T. & MORRIS, G.S. <u>J. Appl. Chem</u>., 1955, <u>5</u>, 266.
- 70. OTSUKI, H. & WILLIANS, C.F. <u>Chem. Eng. Progr. Symp. Ser.</u>, 1953, <u>49</u>, 55.
- 71. SCATCHARD, G.; WILSON, G.M.; SATKIEWICZ, F.G. <u>J. Amer.</u>
 Chem. Soc., 1964, <u>86</u>, 125.
- 72. WICHTERLE, J. & HALA, E. <u>Ind. Eng. Chem. Fund.</u>, 1963, <u>2</u>, 155.
- 73. COLBURN, A.P.; SHOENBORN, E.M.; SCHILLING, D. <u>Ind. Eng.</u>. Chem., 1943, <u>35</u>, 1250.
- 74. CATHALA, J.; HARCHI, D.; LEDERC, R. <u>Bull. Soc. Chim.</u> France, 1950, <u>17</u>, 1129.

- 75. VILÍM, O. et.al. <u>Chem. Listy</u>., 1953, <u>47</u>, 1663; <u>Coll</u>.

 <u>Czech. Chem. Commun.</u>, 1954, <u>19</u>, 1330-
- 76. BERRO, C.; DEYRIEUX, R.; PANELOUX. <u>J. Chim. Phys., 1975, 72</u>, 1118.
- 77. ROGALSKI, M.; RYBAKIEWICZ, K.; MALANOWISKI, S. Ber.
 Bunsenges. Phys. Chem., 1977, 81, 1070.
- 78. LANGE, N.A. Handbook of chemistry. New York, McGraw-Hill, 1967. p. 913.
- 79. THOMSON, G.W. <u>Determination of vapour pressure</u>. New York, Wiley-Interscience, 1965. vol. 1 part 1.
- 80. PRINCO Instruments, Inc. Pennsylvania, Southampton Industrial Park. 18966.
- 81. Curso de Fisico-Química Experimental (Q-532, Q-632)
 UNICAMP. Dados fornecidos pelos professores Pedro L.
 O. Volpe e Renato A. Jorge.
- 82. WEAST, R.C. Handbook of chemistry and physics; a ready-reference books of chemical and physical data. 58ed. Cleveland, CRC, 1977.
- 83. INTERNATIONAL Critical tables of numerical data, physics, chemistry and technology; prepared under the auspices of the International Research Council and the National Academy of Sciences by the National Research Council of the United States of America; ed. by Edward W. Washburn et.al. New York, McGraw-Hill, 1928. v. 3.
- 84. MYERS, H.S. <u>Ind. Eng. Chem.</u>, 1956, <u>48</u>, 1104.
- 85.MATIN, N.B.; DANOV, S.M.; EFRENOV, R.V. <u>Kinetika Kataliz</u>, 1969, 10, 749.

- 86. DANILOV, V.V.; MARTINSON, I.G.; RAVDEL, A.A. Khim. Khim.

 <u>Tekhnol.</u>, 1974, <u>17</u>, 140.
- 87. PIEKOS, R.; KOBYECZYK, K.; GRZYBOWSKI, J. <u>An. Chem.</u>, 1975, <u>47</u>, 1157.

```
LIST
ACTOOE
              08:45
                             15-0CT-79
10 PRINT "NUMBER OF DATA POINTS = ";
20 INPUT N
         *PRESSURE OF EXPERIMENTS = * ;
30 FRINT
40 INPUT P
50 PRINT
60 PRINT "GIVE INFORMATION ABOUT THE TWO COMPOUNDS"
70 PRINT
100 PRINT "MOLECULAR WEIGHTS OF CPDS 1 AND 2 ARE:"
110 INPUT M1,M2
120 PRINT "CRITICAL T, P AND V OF CPD ONE ARE:"
130 INPUT T1,P1,V1
140 PRINT "CRITICAL T, P-AND-V-OF CPD TWO ARE: "----
150 INPUT T2, P2, V2
160 PRINT "ACENTRIC FACTOR OF CPDS 1 AND 2 ARE:"
170 INFUT W1,W2
180 LET R=82.057
190 PRINT
195 DIM T(25),X1(25),Y1(25),D1(25),D2(25),P5(25),P6(25)
200 PRINT
210 PRINT
                                                                    AC2*
                                                       AC1
                        X1
                                       Y1
220 PRINT "TEMP
230 FOR I=1 TO N
240 READ T(I),X1(I),Y1(I),D1(I),D2(I),F5(I),F6(I)
250 LET Y2=1-Y1(I)
260 LET X2=1-X1(I)
270 LET T=273.15+T(I)
280 LET L1=LN((Y1(I)*P)/(X1(I)*P5(I)))
290 LET L2=LN((Y2*F)/(X2*F6(I)))
300 LET V5=M1/D1(I)
310 LET V6=M2/D2(I)
320 LET R1=T/T1
330 LET R2=T/T2
340 LET F1=0.1445-.33/R1-0.1385/(R1**2)-0.0121/(R1**3)
350 LET F2=0.1445-.33/R2-0.1385/(R2**2)-0.0121/(R2**3)
340 LET G1=0.073+0.46/R1-0.5/(R1**2)-0.097/(R1**3)-0.0072/(R1**8)
370 LET G2=0.073+0.46/R2-0.5/(R2**2)-0.097/(R2**3)-0.0072/(R2**8)
400 LET B1=((R*T1)/P1)*(F1+W1*G1)
410 LET B2=((R*T2)/P2)*(F2+W2*G2)
420 LET A1=((B1-V5)*(P-P5(I)))/(R*T)
425 LET A2=((B2-V6)*(P-P6(I)))/(R*T)
430 LET T3=SQR(T1*T2)
440 LET R3=T/T3
450 LET F3=0.1445-0.33/R3-0.1385/(R3**2)-0.0121/(R3**3)
460 LET G3=0.073+0.46/R3-0.5/(R3**2)-0.097/(R3**3)-0.0073/(R3**8)
470 LET W3=(W1+W2)/2
480 LET P3=(4*T3*(P1*V1/T1+P2*V2/T2))/((V1**(1/3)+V2**(1/3))**3)
490 LET B3=((R*T3)/P3)*(F3+W3*G3)
500 LET Q3=2*B3-B1-B2
510 LET C1=(P*Q3*(Y2**2))/(T*R)
520 LET C2=(P*Q3*(Y1**2))/(T*R)
600 LET Z1=EXP(L1+A1+C1)
610 LET Z2=EXP(L2+A2+C2)
620 FRINT T(I),X1(I),Y1(I),Z1,Z2
630 NEXT I
 640 STOP
 700 DATA 80.3, 0.910, 0.952, 0.7203, 0.8080, 0.9868, 0.3871
                       A OAT. A TIOD. A GAS. 1.037 \cdot 0.4076
```

```
720 DATA 82.4, 0.800, 0.893, 0.7182, 0.8058, 1.051, 0.4161.
730 DATA 83.7, 0.738, 0.855, 0.7169, 0.8045, 1.092, 0.4347.
740 DATA 84.8, 0.675, 0.820, 0.7157, 0.8034, 1.128, 0.4511.
750 DATA 85.9, 0.615, 0.780, 0.7146, 0.8023, 1.165, 0.4679.
760 DATA 88.0, 0.525, 0.720, 0.7125, 0.8002, 1.238, 0.5014.
770 DATA 90.4, 0.440, 0.655, 0.7100, 0.7977, 1.325, 0.5421.
780 DATA 92.5, 0.370, 0.592, 0.7078, 0.7956, 1.405, 0.5799.
790 DATA 96.0, 0.265, 0.475, 0.7042, 0.7920, 1.549, 0.6474.
800 DATA 99.4, 0.175, 0.360, 0.7007, 0.7884, 1.697, 0.7188.
810 DATA 101.2, 0.130, 0.290, 0.6969, 0.7865, 1.730, 0.7591.
820 DATA 103.2, 0.090, 0.215, 0.6968, 0.7844, 1.876, 0.8059.
830 DATA 105.8, 0.041, 0.107, 0.6941, 0.7817, 2.007, 0.8701.
```

READY

Aprendice I continued

Apêndice 2- Cálculo Típico Usando o Programa ACTCOE.

RUN

ACTCOE

08:41

15-0CT-79

NUMBER OF DATA POINTS = ?14 PRESSURE OF EXPERIMENTS = ?0.938

GIVE INFORMATION ABOUT THE TWO COMPOUNDS

MOLECULAR WEIGHTS OF CPDS 1 AND 2 ARE: 784.16,92.15
CRITICAL T, P AND V OF CPD ONE ARE: 7553.45,40.4,311

CRITICAL T, P AND V OF CPD TWO ARE: 7591.72,41.6,316

ACENTRIC FACTOR OF CPDS 1 AND 2 ARE: 70.186,0.252

TEMP	X1	Y 1.	AC1	AC2
80.3	0.91	0.952	0.996417	1.25513
81.8	0.83	0.907	0.997039	1.22451
82.4	0.8	0.893	1.0008	1.17376
83.7	0.738	0.855	1.00131	1.16375
84.8	0.675	0.82	1.01784	1.12351
85.9	0.615	0.78	1.03033	1.11879
88	0.525	0.72	1.05123	1.07929
90.4	0.44	0.655	1.06944	1.04584
92.5	0.372	0.592	1.08699	1.02995
96	0.265	0.475	1.10982	1.02122
99.4	0.175	0.36	1.16808	1.00251
101.2	0.13	0.29	1.21069	1.00056
103.2	0.09	. 0.215	1.2337	0.998349
105.8	4.10000E-2	0.107	1.26464	1.00098

TIME: 0.93 SECS.

READY

Apêndice 3 - Listagem do Programa FRIA Usado para a obtenção dos Parâmetros de Wilson (Al2 e A21).

LIST 17:28 07-JAN-80 FRIA 19 DIM X(50), Y(50) 20 PRINT C1 PRINT "RATOOM ERRORS: O-ABSOLUTE, I-RELATIVE"; 22 IMPUT T 30 PRINT PRINT: 1=FINAL: 2=EVERY PTH CYCLE: 3=6LL": 31 INPUT P 12 IF PK22 THEN 40 33 PRINT * F="8 sa comput fil to PRINT "NO. OF PARAMETERS: "! at IMPUT 10 42 FOR I=1 70 IO AS PRINT" VE"I")-"/ 24 IMPUT V(I) 45 NEXT I SO PRINT "SIGNS CERTAIN: O=NO: 1=YES"; St INPUT TI 20 PRINT "REL. UNCERTAINTY"; S: PARUT D as rom tel YU 10 as if first fillings SOUNT MARSINANCE DE as sn T0 47 SC BIFFELOGERADA of UCID=SON(UCID) AB 0(3) £00(b(1)*V(1)) AS MEXT I 20 128-1 71 Physical 77 Pas 7% PRINT "NO. OF DATA FOLDING." F THE THEMS IN THE PERSON 76 FOR NET TO MI 77 READ 5:10 (4) TA THEXA R So if Pai THER 100 71 PRORT "I", "V(1)", "H(I)", "S(I)1)", "U(I)2)" ST FRINT 100 12=2211 (0) P34P2-10#1MY(F2/10) - • 102 Postorit 1 Ly 605U8 500) 10 3F ADS((C(PS)/S)-1) HE- / THEN 400-134 11111783380 1.9 IF P2-P5-8 THEN 150 TOTAL THE PROPERTY THEN 200 THE TOTAL THE TO IC 131 (E(I)=U(I) ESS NEXT I 140 GO TO 200 150 82=0 THE FOR 1-1 TO 10 151 G(I) = (V(I) - G(I)) / 4 153 HEXT I

130 FOR 1-1 (U 10 13)

SHO IF THE BUILDING

```
Tua uuwup ast
360 NEXT I
070 IF $3=2#10 THEN 400
371 3F P6<3%10 THEN 100
372 FOR I-1 10 TO
373 D(I)=ath(I)/5
374 NEXT I
380 Pa=0
381 00 10 100
390 IF T1=0 THER 375
371 IF DOIDLE-5 THEN 377
392 u(I)=1E-5
393 02-8241
394 60 TO 399
395 IF D(I) DABS(V(1)) / 1ES THEN 399
396 D(I)=ABS(V(I))/155
   -92--92-1
399 RETURN
TMINT OOK
401 PRINT P2"CYCLES"
#02 PRINT
203 P2#0
410 FOR 1=1 TO 10
101 IF T1=0 THEN 420
ALC V(I)=U(I)*EXP(V(I))
and PRINT "V("I") > "V(I)
THE HEAT I
430 PRINT
431 S2=SUR(SI/(NI-IO))
   AF YELL THEN 442
440 PRINT "K": "YOMEAS.": "YOCALC.": "DIFF: "M-C": "DIFF: HTTD: GEV."
101 40 10 450
AA2 PRINT "X"," T. MEAS, ", "Y, COLC, ", "FILL, DIFF, , ", "OIFF, / COD!"
443 PRINT TAB(37) "(h-C//SUR(A#C)"
450 FOR M=1 TO NI
451 60SUB 600
452 830Y(N)-0
453 IF T=0 THEN 460
454 93*83/80R(ABS(Y(N)%Q))
450 PRINT X(M),Y(N),Q,93,93/$2
ASI IF NAI THEN 465
962 IF SGN(SJ)=PJ TWEN 964
463 60 TO 465
364 P2=P2+1
465 PU=SUN(SU)
HILS NEXT N
AJO PRIMT
471 IF THI THEN AZA
472 PRINT "SUM(DEV.)**24"81"; • SID.DEV.="82
473 GO 10 475
474 PRINT "SUM(REL.DEV.)***2="S1", REL.DEV.(RSD)="S2
875 PRINT "CHIRA2="(2xP2-Ni+1)xx2/(Ni-1)
AZZ STOP
500 0=0
LOI IF TI=0 THEN 510
udd fun K=1 fo 10
LOB T(R)-U(R) WEXT(U(R))
THE MEXT KI
                                     UNICAMP
Dio FOR Mei 70 Al
                                  BIBLIOTECA CENTRAL
DIZ 16 THE THEN DID
DIS 9-84 (T.R)-0)4W2
111 OU TU 130
520 9-99 CYTNOHED WALZADS (YOUTE)
130 MEXT W
```

加拿大的 医神经生物学 机灰

```
LOZHEXI L
170 GDBUB 500
171 IF SHULL THEN 180
AUZ PRIMI "W")
173 SI-S
174 S2=S2F1
175 GO TO 160
180 PS=P5-12
191 FOR I=1 10 10
182 V(I)=V(I)-G(I)
190 IF-52K1/S THEN 195
191 M(1)=D(1)*(1012)/10
195 MEXI 1
198 PRINT
199 IF $247.5 THEN 200
200 M=1
201 FOR 1=1 TO IO
202 FOR J=1 70 2
(1) (1) (1) (1) (1) (1) (1)
204 GOSUB 500
210 S(I,J)=S/S1
211 IF M<S(I,J) THEN 220
212 N=S(I,J)
220 NEXT J
230 V(I)-V(I)-D(I)
DB1 ON F GO TO 280,240,250
CTO IF P2/P1C/INT(P2/P1) THEN 280
200 IF TI=1 THEN 240
25: PRINT I, U(I), D(I), S(I, 1), S(I, 2)
252 GO TO 270
260 PRINT INDICED *EXP(V(I)) EXP(D(I)) O(I)) (S(I)) (S(I))
270 IF IKIO THEN 280
COLUMNIAN *
             81="81
FUD PRIMT
280 NEXT 1
300 IF MKI THEN 320
301 82=0
302 FOR I=1 TO 10
 303 U(I)=D(I)/2
Bos Sosub 290.
205 BEXT I
 310 26=0
 311 IF S2=10 THEM 400
 312 00 10 100
 130 8340
 EF1 FOR T=1 TO TO
30 1 1 19 m ()
 Fry row oma To 2
 NOW IF AUS(S(lyJ)-1)32E S THEIR 326
 7/5/53*8341
 the TP SCIPJIAN THEN 330
 327 U(1)=V(1)+(2*J-3)*D(1)
 528 8(1)=1.1*D(1)
 792 00 TO 345
 TYO IF B(I)J)JSI THEN BES
 TTE 0(T) : 2*9(1)
 333 00 TO 345
 FUS OF S(I)U) VI THENDED
 336 9ml S(TrJ1)/(1ml)
 337 H(1) = V(1) + (J-3/2) *D(1) *M(3
 NEW (1801) = (1807 10) *D(1)
 331 60 TU 345
 340 00-0241
  WE MINT J
 MO IF SELE HIEN EGO
```

70 1 30 71.3 91 1 30 70.5

RET. UNCERTAINTY TOUS
DO UP JOTA POINTS TIE

DIERO CHATAINE OFNOV 1970S TO

```
Uki hor Ked TU 10
DAZ V(K: MLOC(U(K)#V(k))
SAS NEXY K
550 RETURN
600 LET R1=-LN(X(N)) (// ) *(1-/(N)))
Set LET Q2+(1-X(H)) 1 (V(1)/.X(H)) (V(1) x(1-X(N))) - V(2)/(U(2) x (N)) + (1-X(N)))
350 LET 0:01 M2
and of CORN
Tub Wara .91,-.003589: .83,-.002965
710 DaTA .800.-.0008. .738..001309
7 to DAYA .675,.017683, .615,.29879
730 DATA .325/.049951/.44/.067135
040 DATA .37,.083413: .265,.104198
750 BATA :175:.150361: .13:.19119
750 BAIN .09,.210018, .041,.234787
797 END
ALEXT
715 BATA .675..0175837 .615..017879
Sale
REALT
15016
FELIN
               12133
                             07-JAN-80
ROBBON ERRORS: OPPOSOLUTE, INDRELATIVE TO
FRANK. 18 FIRMLE DELVERY PYN CYCLE, ZEMLL ?1
TO OF THANHSTERS IN .
```

Apêndice 4- Calculo Típico Usando o Programa FRIA Para os Parâmetros de Wilson Calculados a partir dos Coeficientes da Atividade (γi) do Ciclo Hexano (1).

```
的基础
                                                                       32734
                                                                                                                                              07-JnN- 80
开启其后
PARTHON ERRORS: G-ASSULUTE, I RELATIVE TO
 PRINTS I FINAL SHEVERY FIR CYCLE, BUALL TI
 ph) of CARAMETERS = T2
               44 1 ) = T1
               为产品的统行。
 STONS CERTAIN, DINGS INTEG TO
 FILL ENGLESSANTY FOLL
 AS OF MATA POINTS FIR
 大学专类学家基字零基
   表記表章中常奏者·思考者等在本章本章中等一次表示表演者 1992年 1
 李二十三章不過於武士官官者也有其官官者奉奉李章者者及衛軍官軍者及以軍者官
  未完全的
  法未基础 在本事等等 先子先子
  東京老家教寺 医西克斯
   沙子音法专办者者表示各处官专等法就是不交易或者或者或者者或者者并非常或者或者或者或者
      115 CYCLES
 --- 1 -- Q.654171
  V(T1 )= 1.10063
                                                                                                                                               Tr Coll. Co.
                                                                                                                                                                                                                     HITTE . AM-C
                                                                                                                                                                                                                                                                                       - DIFF./STD.DF
                                                                         YVIIIIII O
      8 81
                                                                                                                                                                                                                     -4.202330-2
                                                                                                                                                                                                                                                                                         --0,344227
                                                                        -0.003589
                                                                                                                                                   1.193388.3
                                                                                                                                                   4.85798E 3
                                                                             0-265008-0
                                                                                                                                                                                                                                                                                           -0.99941
                                                                                                                                                                                                                     -- 7 . 41090E- 3
      11
                                                                          -0.0008
                                                                                                                                                   6.27153F-3
                                                                                                                                                                                                                     -- 2:02:538-3
                                                                                                                                                                                                                                                                                            -0.952405
      81.750
                                                                                                                                                    1,11574E-2
                                                                                                                                                                                                                                                                                            ~1,32467
                                                                            0.001302
                                                                                                                                                                                                                      -9.648386-3
                                                                                                                                                                                                                                                                                           --1.8888356-2
       31 725
                                                                                                                                                     1.789156-2
                                                                                                                                                                                                                      -1.384726-4
                                                                             1.26830E-1
       0.335
                                                                                                                                                                                                                          3.945746-3
                                                                                                                                                                                                                                                                                                 0.531529
                                                                             5.029879
                                                                                                                                                    2.59.2735.2
                                                                                                                                                   4.17414E-2
6.125796 2
                                                                                                                                                                                                                                                                                                  1.1075.7
                                                                              4.29610E-2
                                                                                                                                                                                                                           D. 21234E-3
                                                                                                                                                                                                                                                                                                 0.791400
                                                                                                                                                                                                                           5.877076-3
                                                                             0.057135
                                                                                                                                                                                                                            21230576-3
                                                                                                                                                                                                                                                                                                 0.30049
                                                                             3.34130E-2
                                                                                                                                                    S-202012
                                                                              1.104199
                                                                                                                                                                                                                       -1,54736b-2
                                                                                                                                                                                                                                                                                                43,75013
                                                                                                                                                    0.118675
                                                                                                                                                   中央上海中区区
                                                                                                                                                                                                                      -G,97074E-8
       0.170
                                                                             0.155351
                                                                                                                                                                                                                                                                                            --0-53517
                                                                                                                                                                                                                        0.11000 3
                                                                             S2171119
                                                                                                                                                    \{\lambda_{i}, \lambda_{i}, \lambda_{i},
                                                                                                                                                                                                                                                                                                1.09277
                                                                            1 . 2 ( m) ( V)
                                                                                                                                                                                                                                                                                             0.329913
                                                                                                                                                   CONTRACT
                                                                                                                                                                                                                            57.70@HTF 33.
                                                                                                                                                                                                                    -- P 77184E-3
                                                                           . o 2534767
                                                                                                                                                                                                                                                                                               and demonstration
        4 1000 CAE - 21
                                                                                                                                                   THE MORE PLANTS OF A STREET AND A STREET HERE OF A STREET, AND A STREET
   THE DESIGNATION
                                    一直要要是 经非
```

Apêndice 5- Cálculo Típico Usando-se o Programa FRIA para os Parâmetros de Wilson Calculados a Partir dos Coeficientes de Atividade (γ i) do Tolueno (2).

```
A CONTROL OF THE CONT
        All the second of the second o
        ,我们就是我们的基本的基础,在我们的,我看到这个大学的。 医自己工作性病 医克里克氏病 化基础管理 医电影
              and the state of the same
      Samuel Committee of the Samuel
      Same Same Same Same
                                                                                                                                                                                                                                                                                                                                                                                                                                                                                                                                                                                                                                                                                          100 apr 20
100 apr 20
100 apr 20 apr 20
100 apr 20 apr 20
                                                                                                                                                                                                                             1. 1. 1. 1. 1. 1. 1. 1.
                                                                                                                                                                                                                                                                                                                                                                                                                                                                   r Alla Norta (II.
                                                                                                                                                                                                                                   0 15 17
0 1611 165
0 160 175
17 3 17 17
                                                                                                                                                                                                                                       4.2.12.2.2.2
                                                                                                                                                                                                                                                                                                                                                                                                                                                                                                                                                                                                                                                                                                                                                                                                                                                                                                    1.4086.2
                                                                                                                                                                                                                                                                                                                                                                                                                                                                                                                                                                                                                                                                        AND AND AND A
                                                                                                                                                                                                                                                                                                                                                                                                                                                               TO THE WAY WELL IN
                                                                                                                                                                                                                                \star_{(a+b)} \cdot \star_{(a+b)} \cdot \star_{(a+b)}
                                                                                                                                                                                                                                                                                                                                                                                                                                                                                                                                                                                                                                                                                                                                                                                                                                                                                                          Turbout His A
                                                                                                                                                                                                                                                                                                                                                                                                                                                               7 Charles &
                                                                                                                                                                                                                                     9. . . 9. . .
References
                                                                                                                                                                                                                           A LUSA MEDI
Salar and the salar and the salar and the salar
```

Contract to the second of the name of

Apêndice 6 - Listagem Programa COECAL Usado para o Cálculo dos Coefi cientes de Atividade (γ i) a Partir da Média Arit mética dos Valores dos Parâmetros de Wilson (Al2 e A21)

```
LIST
              12:01
                           15-FFB-80
COECAL
10 DIM X(20)
20 PRINT "US VALORES DOS PARAMETROS, SAO:"
30 PRINT "A12= "#
40 INPUT AL
50 PRINT 'A21= ")
60 INPUT A2
20 PRINT
80 PRINT
90 PRINT "
                             Y1.
                                               Y2
100 FOR I- 1 TO 14
110 READ X(I)
120 LET X1=X(I)
130 LET X2=1-X1
140 LET Li=- LOG(X1+A1 *X2)+X2*(A1/(X1+A1*X2)-A2/(A2*X1+X2))
150 Y1=EXF(L1)
160 LET L2=-L0G(X2+A2*X1)-X1*(A1/(X1+A1*62)-A2/(A2*X1+X2))
170 Y2=EXF(L2)
180 PRINT X1:Y1 :Y2
190 NEXT I
200 STOP
210 DATA .91, .83 , .80, .738, .675, .615, .525,
220 DATA .44, .37, .265, .175, .130, .09, .041
300 END
READY
```

RUN .
COECAL 11:37 15-FEB-80

OS VALORES DOS PARAMETROS SAO: 1

At20 7.779 A21= 21.000

X	Y I	Y2
0.375	1.04558	1.45000
0.615	1,0646	1.3539
0.525	1.10015	1.25039 1.16932
0.44	1.14222 1.18379	1.11385
0.37 0.265	1.25949	1.0492
0.175	1.33923 1.38504	1.01211 1.00053
0.13 0.09	1,42949	0.994717
4.10000E-2	1.48916	0.994067